



Chapter 3

单级放大器

Single-Stage Amplifiers

中科大微电子学院

黄鲁、程林

教材：拉扎维《模拟CMOS集成电路设计》



第3章内容 contents

3.1 放大器应用例

3.2 模拟电路设计基本概念

3.3 共源级Common-source topology

3.4 共漏级：源跟随器Source followers

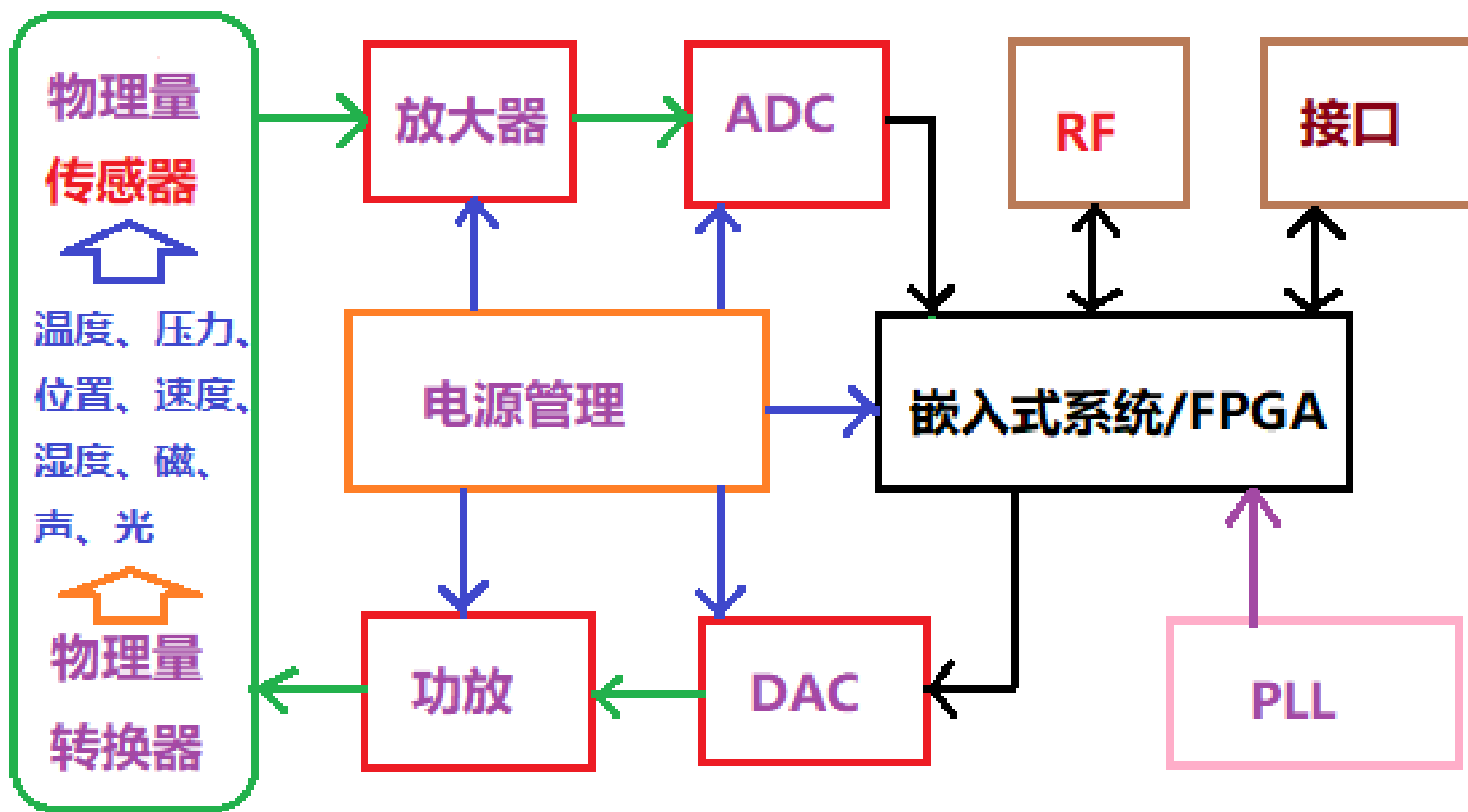
3.5 共栅级 Common-gate topology

3.6 共源共栅级Cascode configuration



3.1 放大器应用例

信号处理链路中几乎所有电路模块都包含不同性能的放大器：





应用例：射频前端中的放大器

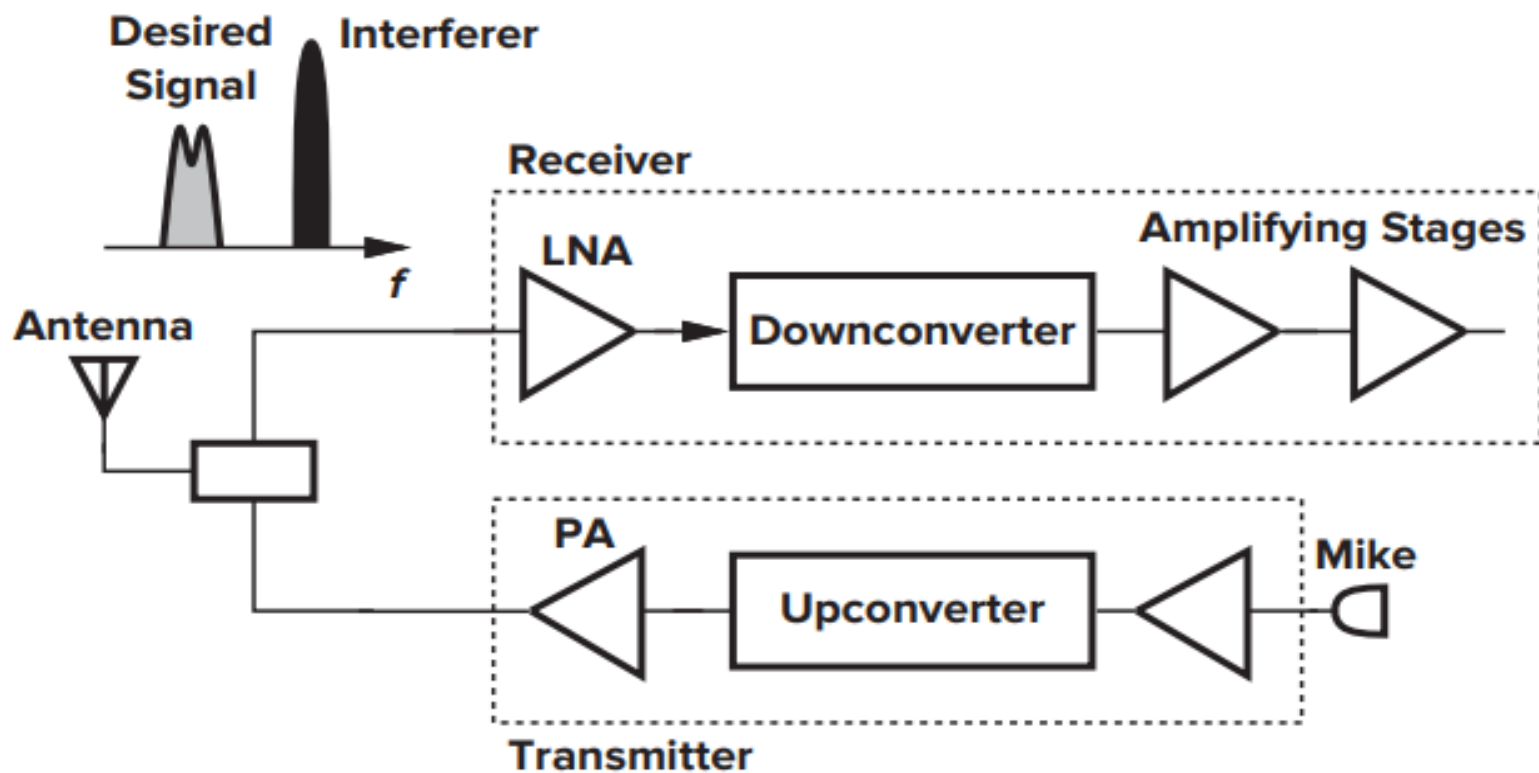


Figure 3.1 General RF transceiver.

各个放大器的中心频率、带宽、增益、线性度等指标要求不同，对应实现的电路结构不同。

没有设计指标就没有电路（结构与器件）设计！



例：集总参数还是分布参数电路？

本课程学习知识仅适用于集总参数电路，即器件（包括线路）长度远小于信号波长。

线长 $l \ll 0.1\lambda$ ，工程上 $l < 0.05\lambda$ 视为集总系统。

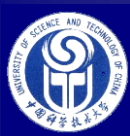
其中 $\lambda = \frac{c}{f} \approx 3 \times 10^{10} \text{ cm}/f$ ，芯片内实际波长 $\frac{\lambda}{\sqrt{\epsilon_r}} \approx \frac{\lambda}{2}$

如何判断是否应采用射频传输线？

例（1）：2.4GHz信号，波长约12.5cm，芯片内部电路和连线尺寸不超过3mm(一般均满足)时，按集总系统设计。

例（2）：10GHz信号（波长3cm）及更高频率，芯片内部电路（模块间连线距离大750um时）一般需要按分布参数设计。

分布参数模拟/射频电路进行阻抗匹配，最重要目的是进行无反射的信号传输，避免信号失真，其次是功率传输或滤波。



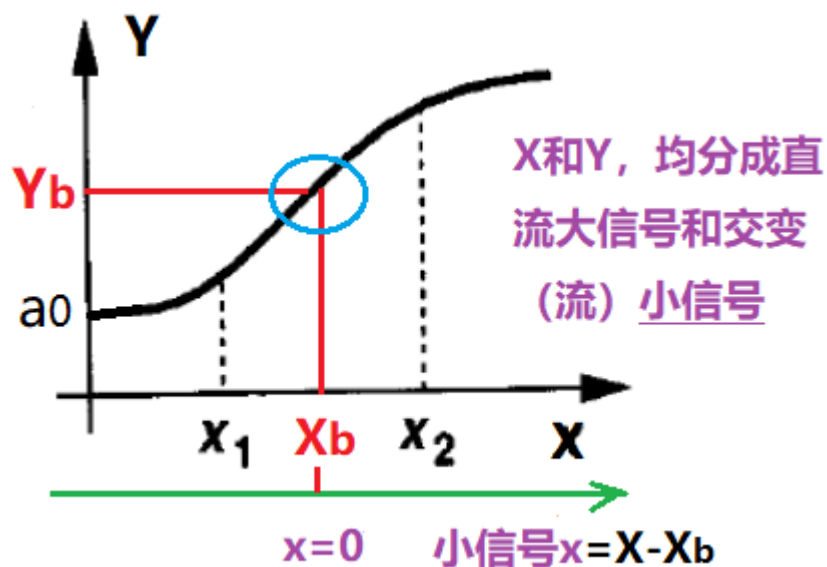
3.2 模拟电路设计基本概念：直流工作点

放大器输入 X 和输出 Y :

$$Y(t) = a_0 + a_1 X(t) + a_2 X^2(t) + \cdots + a_n X^n(t), \quad X_1 \leq X \leq X_2$$

当 $X_2 \sim X_1$ 在 X_b 附近变化时, 记 $x = X - X_b$, $Y(t) \approx Y_b + a_1 x(t)$

$a_1 x(t) \ll Y_b$, 直流偏置点为 X_b 和 Y_b



模拟电路前端设计2类主要问题:

(1) 直流工作点涉及:

直流输入、直流输出电压或电流 (工作点), 最大与最小值 (一般指电压摆幅, 或线性度), 功耗;

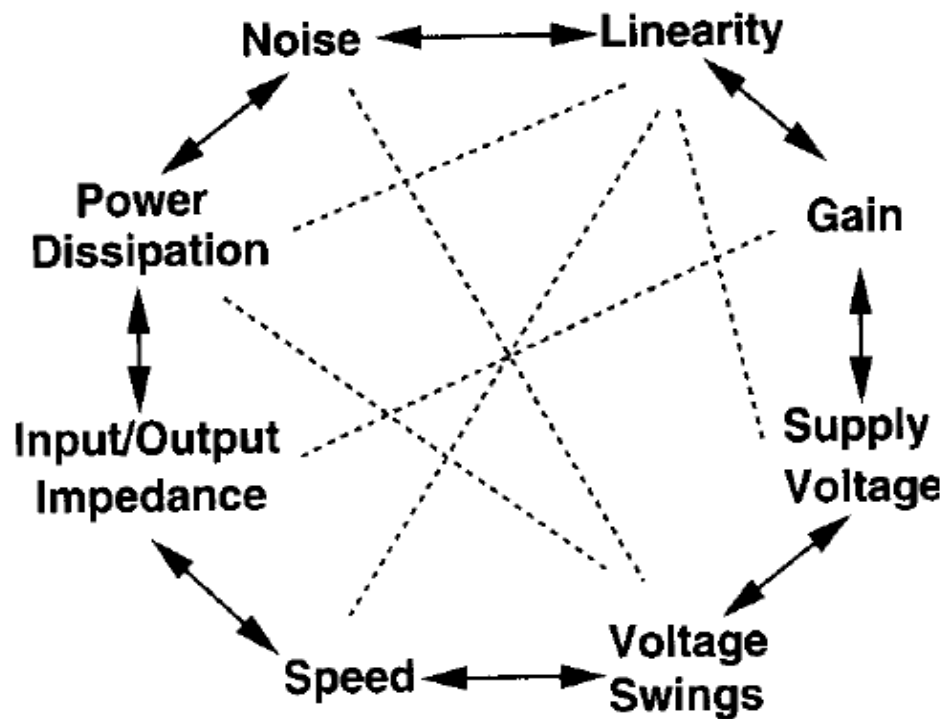
(2) 交流小信号涉及:

增益 (传递函数与零极点)、带宽 (速度)、输入输出阻抗, 噪声 (信噪比)、稳定性。



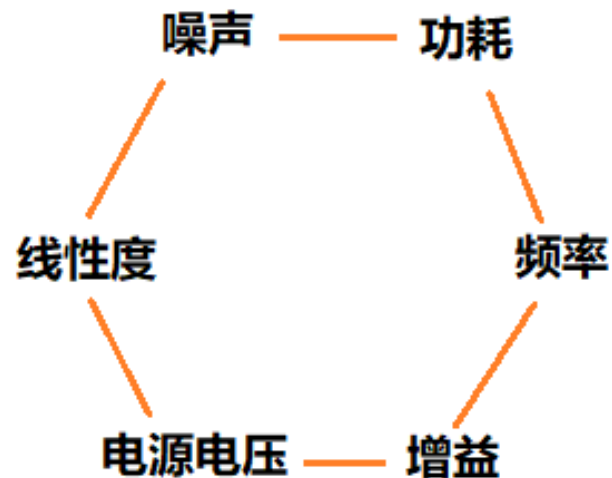
模拟电路设计基本概念：折中

Analog circuits design octagon: **trade-off**

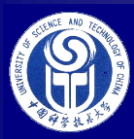


- *满足重要性能指标（与应用系统有关）；
- *一般地，频率（速度）指标最重要；
- *负反馈系统应确保稳定性（不属于八边形原则）；
- *任何指标提升必有代价，适用即可。

比较：射频设计六边形原则

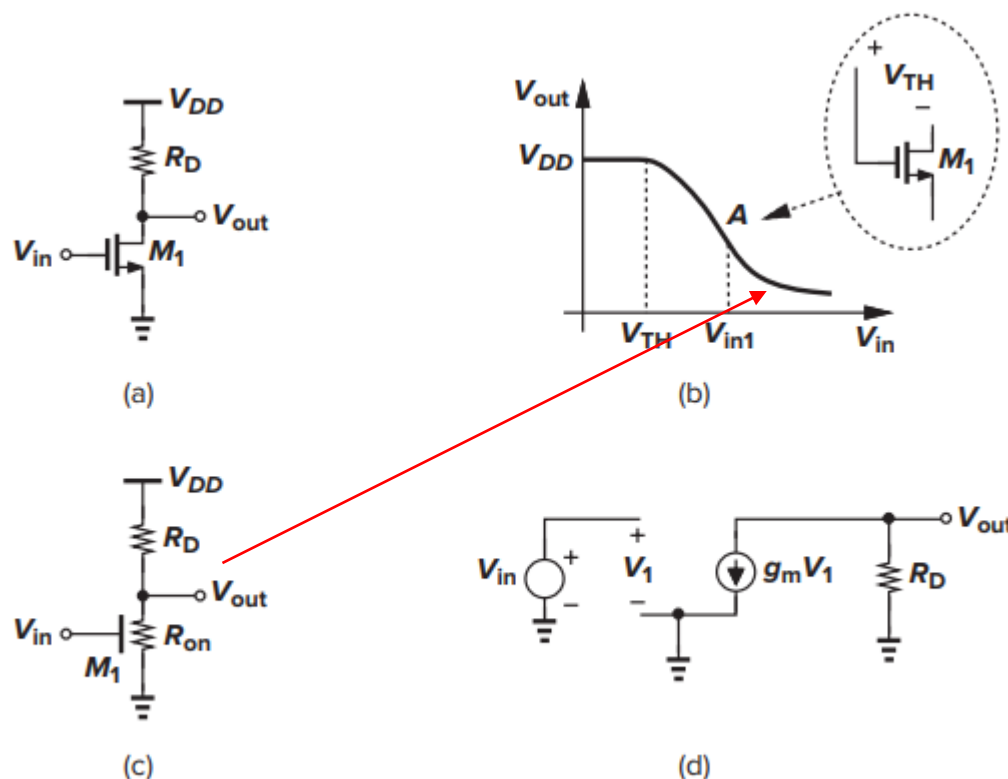


比模拟电路设计缺少：
*电压摆幅：与工作点有关，射频易设工作点
*输入输出阻抗：真正的射频电路一般是50欧



3.3 Common-source (CS) Stage

• 3.3.1 Common-source stage with resistive load



饱和与线性区
临界点A点：
当 $V_{in} > V_{in1}$ (A点)
则 $V_{in} - V_{TH} > V_{out}$
triode region

V_{in} 增加 $\rightarrow I_D$ 增加 \rightarrow
 V_{RD} 增加 $\rightarrow V_{out}$ 下降。
反向放大

Figure 3.4 (a) Common-source stage, (b) input-output characteristic, (c) equivalent circuit in the deep triode region, and (d) small-signal model for the saturation region.

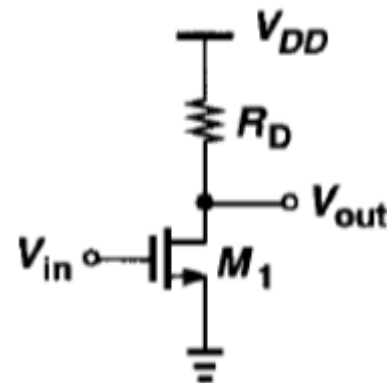
(d)图为小信号模型：交变信号（无直流）幅度小； R_D 远小于 r_o ；忽略寄生电容，仅限低频。



1.采用大信号分析方法：应用IV公式

In saturation region: $V_{out} = V_{DS} > V_{in} - V_{Th}$

$$V_{out} = V_{DD} - R_D I_{Dn} = V_{DD} - R_D \frac{1}{2} \mu_n C_{OX} \frac{W}{L} (V_{GS} - V_{Th})^2$$



提示：电阻负载一般阻值较小，几k~几十 k欧，因此手算时可忽略 r_o (沟道长度调制效应引起，模拟电路一般在几十k~几百k欧数量级)，并取 $L' = L_{eff} = L_{drawn} - 2LD$ ，这里 LD = 漏/源与栅极的交叠长度。

Note that the input impedance of the circuit is very high
at low frequencies .



大（总）信号在饱和区与线性区的输出

(1) 饱和区：临界点A输入信号 V_{in1}

$$V_{out} = V_{in1} - V_{TH} = V_{DD} - R_D \frac{1}{2} \mu_n C_{OX} \frac{W}{L} (V_{in1} - V_{TH})^2$$

$$= V_{DD} - R_D \frac{1}{2} \mu_n C_{OX} \frac{W}{L_{eff}} (V_{in1} - V_{TH})^2 (1 + \lambda V_{DS})$$

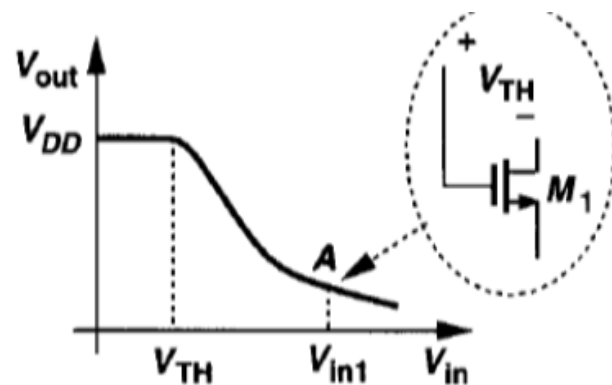
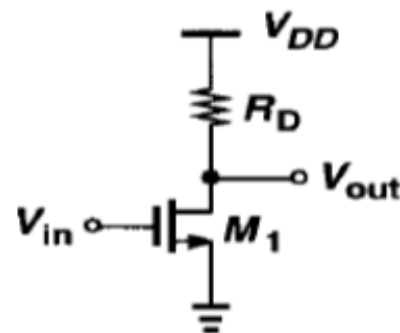
解出 V_{in1} 和对应的 V_{outA} 。手算时 $\lambda V_{DS} \approx 0$

(2) 线性区：

$V_{in} > V_{in1}$, 即 $V_{in} > V_{out} + V_{TH}$

$$V_{out} = V_{DD} - R_D \times \mu_n C_{OX} \frac{W}{L_{eff}} \left[(V_{in1} - V_{TH}) V_{DS} - \frac{1}{2} V_{DS}^2 \right]$$

$$= V_{DD} - R_D \times \frac{1}{2} \mu_n C_{OX} \frac{W}{L_{eff}} \left[2(V_{in1} - V_{TH}) V_{out} - V_{out}^2 \right]$$



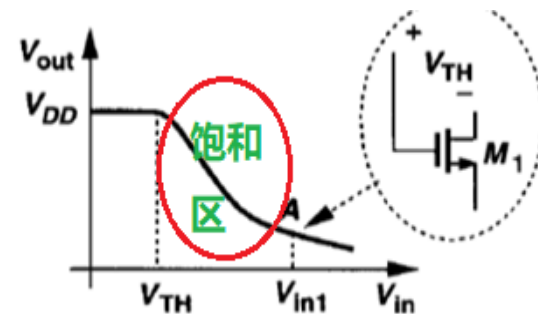
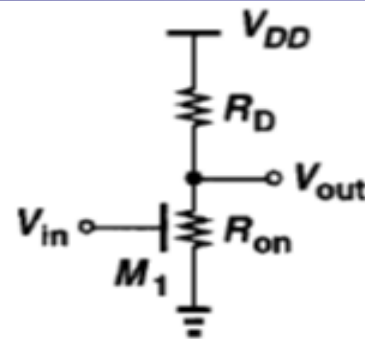
三极管区仍能工作，
但跨导小，且与 V_{DS} 有关



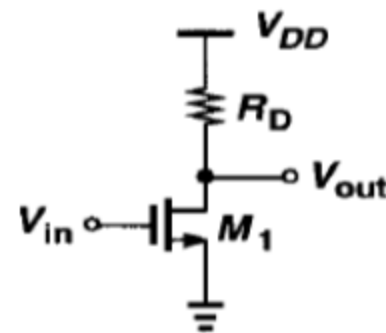
大(总)信号在深线性区的输出电压

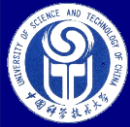
$$V_{DS} = V_{out} \ll 2(V_{GS} - V_{TH}) \text{ 时}$$
$$R_{DS} = R_{on} = \frac{1}{\mu_n C_{ox} \frac{W}{L} (V_{in} - V_{TH})}$$

$$V_{out} = \frac{R_{on}}{R_{on} + R_D} V_{DD}$$
$$= \frac{V_{DD}}{1 + \mu_n C_{ox} \frac{W}{L} (V_{in} - V_{TH}) R_D}$$



模拟电路一般应工作在饱和区，
 $V_{TH} < V_{in} < V_{in1}$, $V_{outA} < V_{out} < V_{DD}$ ，
避免工作在线性区（跨导与 V_{DS} 有关，即与变化较大的输出有关）。





饱和区 **small-signal gain** of common source

$$V_{out} = V_{DD} - \frac{1}{2} \mu_n C_{ox} \frac{W}{L} (V_{in} - V_{TH})^2 \times R_D \quad \text{忽略沟道长度调制效应}$$

$$A_v = \frac{\partial V_{out}}{\partial V_{in}} = -\mu_n C_{ox} \frac{W}{L} (V_{in} - V_{TH}) R_D = -g_m R_D$$

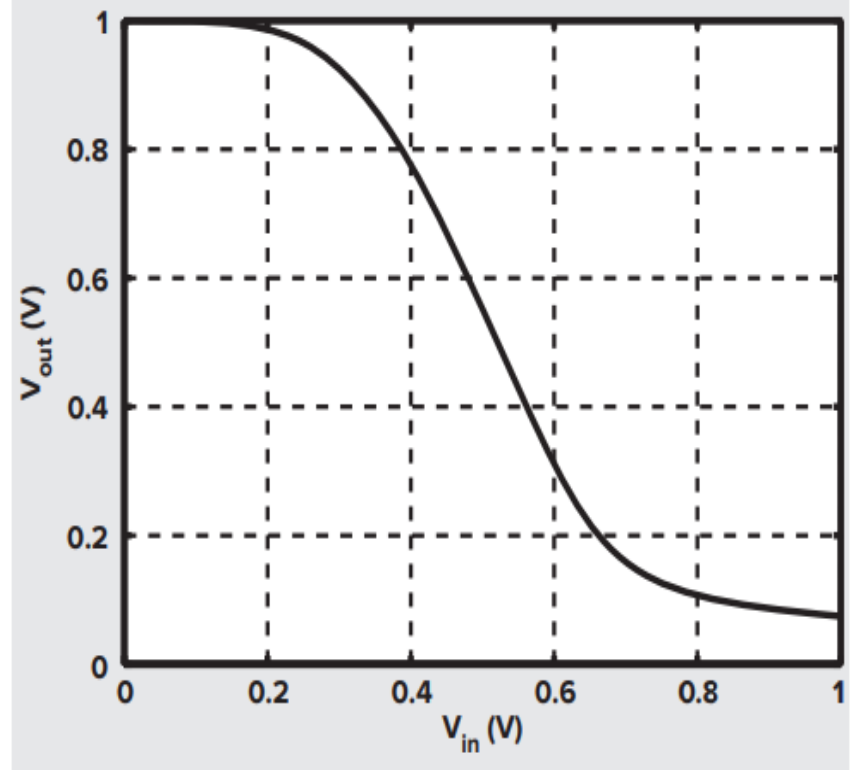
基本概念：

- (1) 放大倍数（增益）仅与**交变**信号相关，不包括直流信号电平（工作点）；
- (2) CS负增益表示输入与输出中的**交变信号反向**；
- (3) 负载 R_D 可泛指一切有源器件（含受控电压或电流源的器件，如MOS、三极管等）和无源器件(RLC)的**小信号**阻抗。
- (4) 本电路中，因 g_m 与 V_{in} （工作点+变化量）有关，故输入变化较大时，增益不恒定，导致非线性失真。



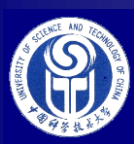
从DC（直流）VTC仿真图获得gain

How does the CS stage behave in nanometer technologies? The figure plots the simulated input-output characteristic for $W/L = 2 \mu\text{m}/40 \text{ nm}$, $R_D = 2 \text{ k}\Omega$, and $V_{DD} = 1 \text{ V}$. We observe that the circuit provides a gain of about 3 in the input range of 0.4 V to 0.6 V. The output swing is limited to about 0.3 V–0.8 V for the gain not to drop significantly.



VTC, 电压传输特性

$$A_V = \frac{\Delta V_{out}}{\Delta V_{in}} \approx \frac{0.8 - 0.3}{0.6 - 0.4} = 2.5$$

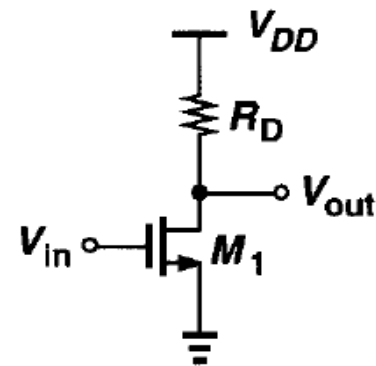


Example 3.1: I_D 和 g_m 随输入的变化

Solution:

$$\text{饱和区 } I_D = \frac{1}{2} \mu_n C_{ox} \frac{W}{L_{eff}} (V_{in} - V_{Tn})^2 (1 + \lambda V_{out})$$

$$g_m = \frac{\partial I_D}{\partial V_{GS}} = \mu_n C_{ox} (W / L_{eff}) (V_{in} - V_{Tn}) (1 + \lambda V_{out})$$



V_{out} 由 R_D 压降确定

饱和与线性区临界点输入 $V_{in1} = V_{out} + V_{Tn}$

三极管（线性）区: $V_{out} < V_{in} - V_{Tn}$

$$I_D = \mu_n C_{ox} \frac{W}{L_{eff}} \left[(V_{in} - V_{Tn}) V_{out} - \frac{1}{2} V_{out}^2 \right]$$

$$g_m = \frac{\partial I_D}{\partial V_{GS}} = \frac{\partial I_D}{\partial V_{in}} = \mu_n C_{ox} \frac{W}{L_{eff}} V_{out}$$

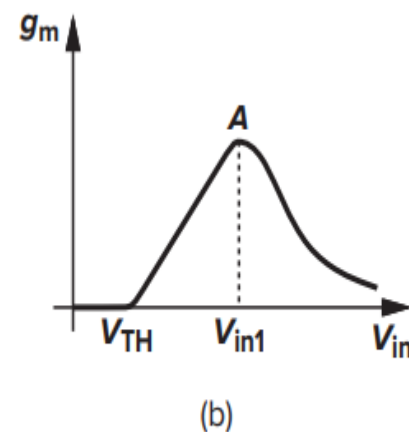
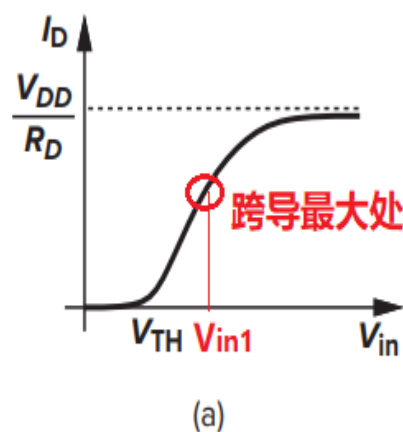


Figure 3.5

111



沟道长度调制效应对增益的影响

$$V_{out} = V_{DD} - \frac{1}{2} \mu_n C_{ox} \frac{W}{L} (V_{in} - V_{TH})^2 (1 + \lambda V_{out}) \times R_D$$

$$A_v = \frac{\partial V_{out}}{\partial V_{in}} = -\mu_n C_{ox} \frac{W}{L} (V_{in} - V_{TH})(1 + \lambda V_{out}) R_D \\ - \frac{1}{2} \mu_n C_{ox} \frac{W}{L} (V_{in} - V_{TH})^2 \lambda \frac{\partial V_{out}}{\partial V_{in}} R_D$$

$$\text{即 } A_v = -g_m R_D - I_D \lambda A_v R_D$$

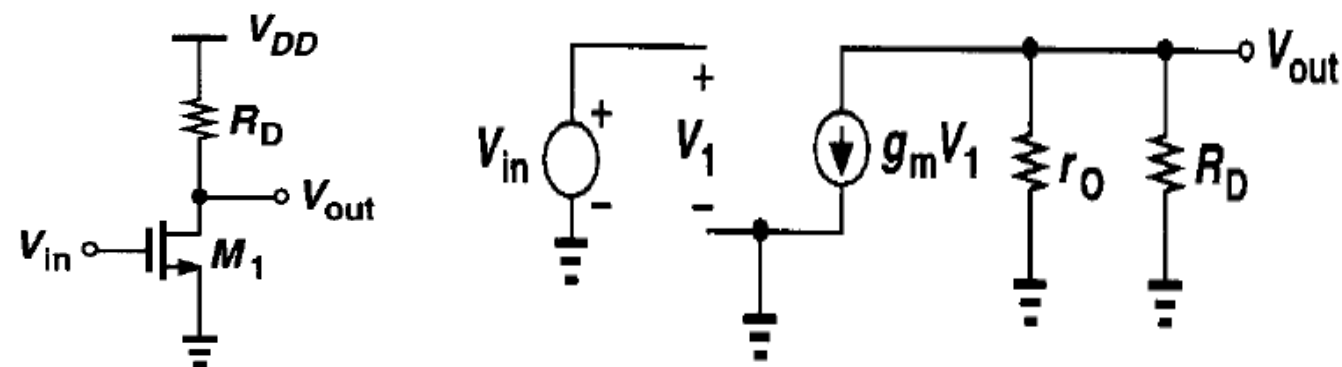
$$\Rightarrow A_v = -\frac{g_m R_D}{1 + \lambda I_D R_D}$$

$$\because \lambda I_D = \frac{1}{r_o} \quad \Rightarrow A_v = -\frac{g_m R_D}{1 + \frac{1}{r_o} R_D} = -\frac{g_m R_D r_o}{r_o + R_D} = -g_m (R_D \parallel r_o)$$

沟道长度调制效应($r_o=r_{ds}$)使gain减小



2.采用交变小信号模型计算方法



r_o 代表了沟道长度调制效应。如负载 R_D 较小(小于几K欧), 可忽略 r_o 。

Figure 3.7 Small-signal model of CS stage including the transistor output resistance.

$$g_m V_1 (r_o \parallel R_D) = -V_{out} \quad V_1 = V_{in}$$

V_{in} 和 V_{out} 是交变小信号

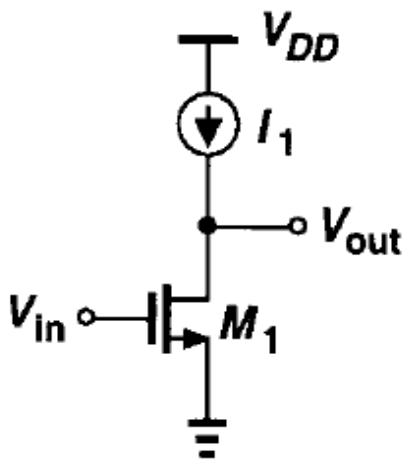
$$A_v = \frac{V_{out}}{V_{in}} = -g_m (r_o \parallel R_D)$$

采用小信号模型, 计算简捷, 结果与大信号方法相同

信号流分析可省略小信号模型。直观方法: M1通过跨导 g_m 将 V_{in} 变化转换成漏极受控电流源变化, 该电流变化通过总输出阻抗转换成输出电压变化 V_{out}



本征增益 $g_m r_o$: MOS管的增益极限



理想电流源具有无穷大输出阻抗。

即电流源负载等效于 $R_D = \infty$

$$A_v = -g_m(r_o \parallel R_D) = -g_m r_o$$

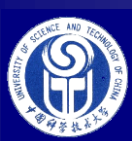
MOS极限电压增益为 $g_m r_o$ ，称为本征增益

“intrinsic gain” represent the maximum voltage gain that can be achieved using a single device.

这里的所谓“负载”是指交流上拉（或下拉）电阻，电路输出阻抗与此有关，并非电路真实驱动负载。

重要推论：应 $g_m r_o \gg 1$ ， thus usually $1/g_m \ll r_o$

亚微米工艺 $g_m r_o$ 约几十~几百，纳米工艺 $g_m r_o$ 约几~几十。

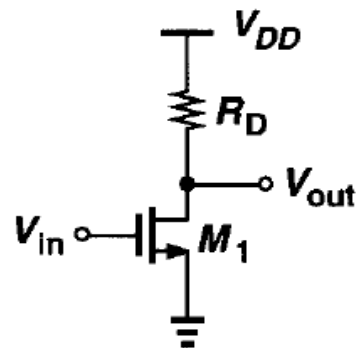


例：CS性能参数的数量级概念

已知： $C_{OX} = 10 \times 10^{-7} \text{ F/cm}^2$, $\mu_n = 300 \text{ cm}^2/(\text{V} \cdot \text{s})$, $V_{Tn} = 0.5\text{V}$

$V_{DD} = 1.8\text{V}$, $V_{in, DC} = 0.7\text{V}$, 设 $\lambda_n = 0.1/V$, $I_D = 100\mu\text{A}$, $V_{out} = 1\text{V}$,

$0.5\mu\text{m}$ 工艺漏 / 源与栅极交叠 $LD \approx 0.1\mu\text{m}$, 计算 $\frac{W}{L_{eff}}$, R_D , $g_m r_o$, A_v .



解： $I_D = \frac{1}{2} \mu_n C_{OX} \frac{W}{L_{eff}} (V_{in} - V_{Tn})^2 (1 + \lambda V_{out})$, 已知过驱动电压和电流可用此式得 $\frac{W}{L_{eff}}$

$$100 \times 10^{-6} \text{ A} = \frac{1}{2} \times 300 \text{ cm}^2/(\text{V} \cdot \text{s}) \times 10 \times 10^{-7} \text{ F/cm}^2 \times \frac{W}{L_{eff}} \times 0.2^2 \text{ V}^2 \times 1.1$$

得到： $\frac{W}{L_{eff}} = \frac{100}{6.6} \approx \frac{4.5}{0.3}$, 取 $L_{drawn} = 0.5\mu\text{m}$

$$R_D = \frac{V_{DD} - V_{out}}{I_D} = \frac{1.8\text{V} - 1\text{V}}{100 \times 10^{-6} \text{ A}} = 8\text{k}\Omega, \quad r_o = \frac{1}{\lambda I_D} = \frac{1}{0.1/V \times 100 \times 10^{-6} \text{ A}} = 100\text{k}\Omega$$

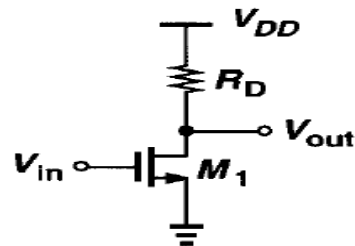
$$g_m = \mu_n C_{OX} (W / L_{eff}) (V_{in} - V_{Tn}) (1 + \lambda V_{out}) = 300 \times 10 \times 10^{-7} \times \frac{4.5}{0.3} \times 0.2 \times 1.1 \approx 1 \frac{\text{mA}}{\text{V}}$$

$$g_m r_o = 100, \quad A_v = -g_m (R_D || r_o) = -10^{-3} \times (8 || 100) \times 10^3 = -7.4$$



饱和区动态范围（用大信号公式计算）

$$V_{in,min}=V_{Tn}, V_{out,max}=V_{DD}, V_{in,max}=V_{out,min}+V_{Tn}$$



$$V_{out,min} = V_{DD} - R_D \frac{1}{2} \mu_n C_{OX} \frac{W}{L_{eff}} (V_{in,max} - V_{Tn})^2 (1 + \lambda V_{out,min})$$

$$\approx V_{DD} - R_D \frac{1}{2} \mu_n C_{OX} \frac{W}{L_{eff}} V_{out,min}^2, \quad (\because \lambda V_{out,min} \approx 0, V_{out} \geq V_{in,max} - V_{Tn})$$

$$= 1.8V - 8 \times 10^3 \Omega \times \frac{1}{2} \times 300 \frac{cm^2}{(V \cdot s)} \times 10 \times 10^{-7} \frac{F}{cm^2} \times \frac{4.5}{0.3} \times V_{out,min}^2$$

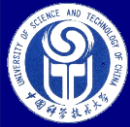
$$= 1.8V - 18 V_{out,min}^2 \times \Omega \cdot V \cdot \frac{F}{s} = 1.8V - 18 V_{out,min}^2$$

$$(\because Q = CV = It, \text{故量纲 } FV = As, \therefore \Omega \cdot V \cdot \frac{F}{s} = \Omega A = V)$$

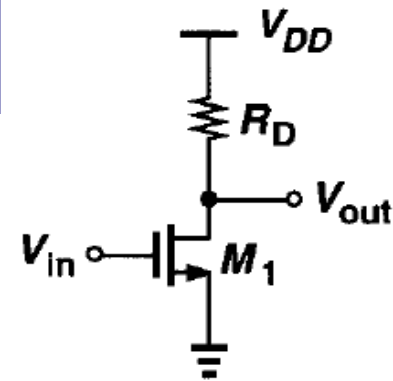
$$\text{得到: } V_{out,min} = \frac{-1 + \sqrt{1^2 - 4 \times 18 \times (-1.8)}}{2 \times 18} = \frac{10.43}{36} \approx 0.3V$$

$$V_{in,max} \approx V_{out,min} + V_{Tn} \approx 0.8V$$

最小输出电平的近似计算：在增益较大时 $V_{out,min} \approx V_{in} - V_{Tn}$



例：改变直流电流，进行比较



已知： $C_{ox} = 10 \times 10^{-7} \text{ F/cm}^2$, $\mu_n = 300 \text{ cm}^2/(\text{V} \cdot \text{s})$, $V_{Tn} = 0.5\text{V}$

$V_{DD} = 1.8\text{V}$, $V_{in} = 0.7\text{V}$, 设 $\lambda_n = 0.1/\text{V}$, $V_{out} = 1\text{V}$, 改变 $I_D = 20\mu\text{A}$,

采用 $0.5\mu\text{m}$ 工艺 $L_D \approx 0.1\mu\text{m}$, 重新计算 $\frac{W}{L_{eff}}$, R_D , $g_m r_o$, A_v 。

$$\text{解： } I_D = \frac{1}{2} \mu_n C_{ox} \frac{W}{L_{eff}} (V_{in} - V_{Tn})^2 (1 + \lambda V_{out})$$

$$20 \times 10^{-6} \text{ A} = \frac{1}{2} \times 300 \text{ cm}^2/(\text{V} \cdot \text{s}) \times 10 \times 10^{-7} \text{ F/cm}^2 \times \frac{W}{L_{eff}} \times 0.2^2 \text{ V}^2 \times 1.1$$

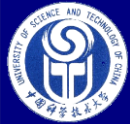
$$\text{得到： } \frac{W}{L_{eff}} = \frac{20}{6.6} \approx \frac{0.9}{0.3}, \text{ 取 } L_{drawn} = 0.5\mu\text{m}$$

$$R_D = \frac{V_{DD} - V_{out}}{I_D} = \frac{1.8\text{V} - 1\text{V}}{20 \times 10^{-6} \text{ A}} = 40\text{k}\Omega, \quad r_o = \frac{1}{\lambda I_D} = \frac{1}{0.1/\text{V} \times 20 \times 10^{-6} \text{ A}} = 500\text{k}\Omega$$

$$g_m = \mu_n C_{ox} (W / L_{eff}) (V_{in} - V_{Tn}) (1 + \lambda V_{out}) = 300 \times 10 \times 10^{-7} \times \frac{0.9}{0.3} \times 0.2 \times 1.1 \approx 0.2 \frac{\text{mA}}{\text{V}}$$

$$g_m r_o = 100, \quad A_v = -g_m (R_D || r_o) = -0.2 \times 10^{-3} \times (40 || 500) \times 10^3 = -7.4$$

本例如何提高增益？增大 W/L ！即 g_m 。为维持电流不变，需相应地降低直流 V_{in}



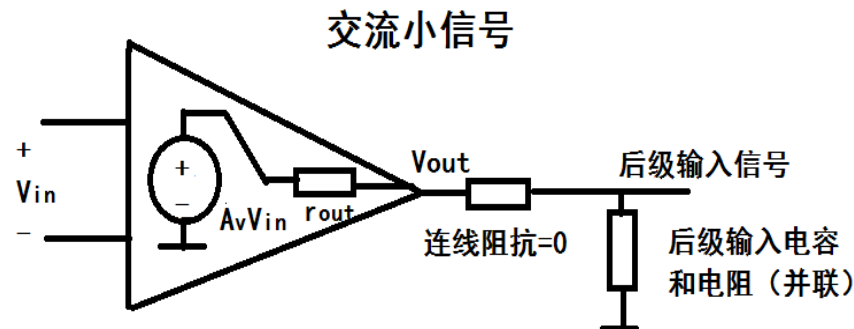
R_D 电阻负载CS放大器的设计注意事项

- **增益不大**。原因： R_D 受到直流电流和工作点电压限制，不能很大，如在高频（需大电流）和大动态范围（直流输出电平为1/2电源）时。
- 大幅度交变输入输出信号时，应注意 V_{DS} 避免进入线性区。
- 实际设计中应注意考虑前后级电路，避免不合适的工作点。
- 增益等参数仿真时须有后级电路的交流等效输入阻抗做为本级load。

负载 C_L =后级电路的输入电容（高频时与后级增益和器件尺寸有关）+长连线的寄生电容。

放大电路建模：受控电压源 $A_v V_{in}$ 或电流源 $G_m V_{in}$ ，交流小信号！

问题： $r_{out}=R_D||r_o$ 大或小比较好？
放大级大好（增益大），输出级小好



电压放大器



实际电阻（例smic18mmrf工艺）

(1) POLY电阻（栅多晶硅）：

电阻名称r开头

1) 高阻：1000欧/方块，例rhrpo, rpposab,...

2) 普通：几欧/方块, rppo, rnpo,

(2) 扩散区电阻(N+,P+,NW)：几百欧/方块电阻

例： rpdif, rndif, rnwaa, rndifsab,...

(3) 金属(M1~MTOP)：(几毫欧~几十毫欧)/方块

设计时检查电流密度：

金属层（顶层除外）：<0.5~1mA/微米宽

硅（POLY,扩散区）：<0.3~0.5mA/微米宽

电阻宽度有最低限制，如0.4~2um，大电阻的面积大，有寄生电容。

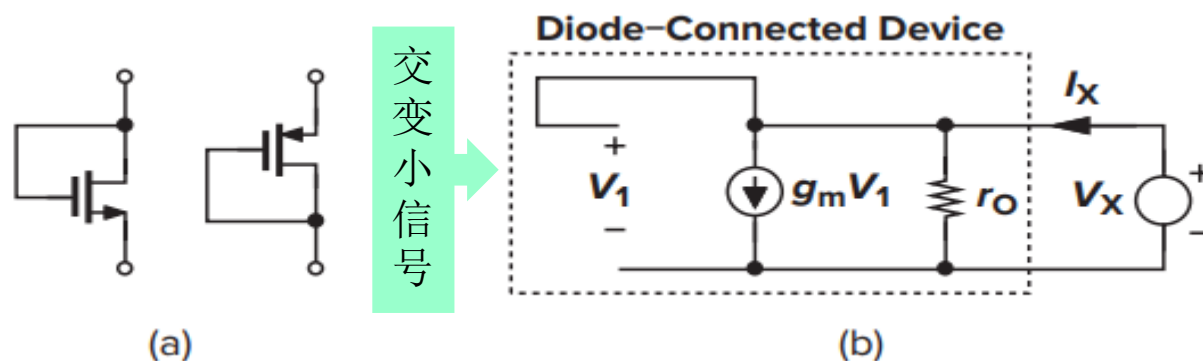
电阻值不准确，误差达20%，且温度系数大。

设计电路时，最好是采用2个电阻成比例计算的结构。



3.3.2 CS Stage with diode-Connected Load

MOS 管连接成二极管做负载电阻，总是工作在**饱和区**，直流与交流电阻不同。先不考虑体效应 (g_{mb})。设直流工作点由外电路确定。



输出电阻（作为信号来源电路的负载）

增益和输出电阻均是指交变小信号

Figure 3.10 (a) Diode-connected NMOS and PMOS devices;

(b) small-signal equivalent circuit.

$$V_1 = V_X$$

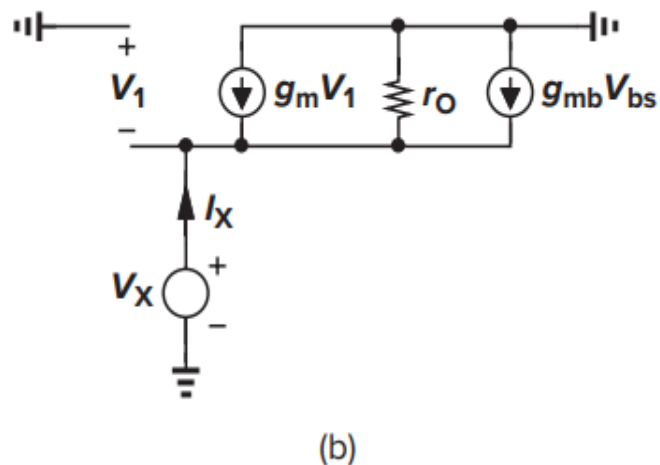
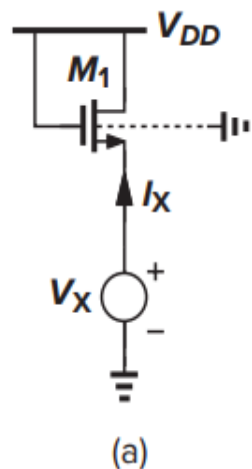
$$\text{交变信号 } I_X = \frac{V_X}{r_o} + g_m V_X$$

$$\text{二极管作为电阻: } r_{\text{out}} = \frac{V_X}{I_X} = \frac{1}{\frac{1}{r_o} + g_m} = r_o \parallel \frac{1}{g_m} \approx \frac{1}{g_m} \quad g_m r_o \gg 1$$

二极管负载等效于电阻 $1/g_m$ ，多为~几百欧。S/D无方向性



输出阻抗: If Body effect exists



$$V_1 = -V_X, V_{bs} = -V_X$$

$$(g_m + g_{mb})V_X + \frac{V_X}{r_O} = I_X$$

二极管输出电阻:

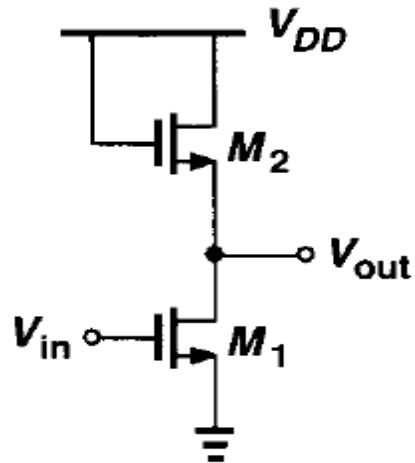
$$r_{out} = \frac{V_X}{I_X} = \frac{1}{g_m + g_{mb} + \frac{1}{r_O}} = \frac{1}{g_m} \parallel \frac{1}{g_{mb}} \parallel r_O$$

$$\approx \frac{1}{g_m} \parallel \frac{1}{g_{mb}} = \frac{1}{g_m + g_{mb}}$$

体效应使 r_{out} 减小,
导致增益减小。
如何设计使得电路
无体效应?



Study CS Stage with diode-Connected Load



$$A_v = -g_m R_D \quad \text{若可忽略沟道长度调制效应 (} L_1 \text{ 不太小)}$$

$$A_v = -g_{m1} \frac{1}{g_{m2} + g_{mb2}}$$

由第2章

$$\eta = \frac{\partial V_{TH}}{\partial V_{SB}} = \frac{\gamma}{2} \cdot \frac{1}{\sqrt{2\Phi_F + V_{SB}}}$$

$$= -\frac{g_{m1}}{g_{m2}} \frac{1}{1 + \eta},$$

式(3.28)

$$g_m = \sqrt{2\mu_n C_{ox} \frac{W}{L} I_D (1 + \lambda V_{DS})} \quad \rightarrow \quad A_v = -\frac{\sqrt{2\mu_n C_{ox} (W/L)_1 I_{D1}}}{\sqrt{2\mu_n C_{ox} (W/L)_2 I_{D2}}} \frac{1}{1 + \eta}$$

$$\text{since } I_{D1} = I_{D2} \quad A_v = -\sqrt{\frac{(W/L)_1}{(W/L)_2}} \frac{1}{1 + \eta}$$

So long as M1 stays in saturation ,the gain is independent of the bias currents and voltages .The input-output characteristic is linear.



Large-signal analysis

Neglecting channel-length modulation for simplicity.

$$\frac{1}{2}\mu_n C_{ox} \left(\frac{W}{L}\right)_1 (V_{in} - V_{TH1})^2 = \frac{1}{2}\mu_n C_{ox} \left(\frac{W}{L}\right)_2 (V_{DD} - V_{out} - V_{TH2})^2$$

$$\sqrt{\left(\frac{W}{L}\right)_1} (V_{in} - V_{TH1}) = \sqrt{\left(\frac{W}{L}\right)_2} (V_{DD} - V_{out} - V_{TH2})$$

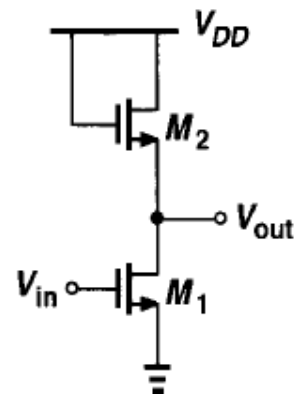
对 V_{in} 求偏导:
$$\sqrt{\left(\frac{W}{L}\right)_1} = \sqrt{\left(\frac{W}{L}\right)_2} \left(-\frac{\partial V_{out}}{\partial V_{in}} - \frac{\partial V_{TH2}}{\partial V_{in}} \right) = \sqrt{\left(\frac{W}{L}\right)_2} \left(-A_v - \frac{\partial V_{TH2}}{\partial V_{in}} \right)$$

$$\therefore \frac{\partial V_{TH2}}{\partial V_{in}} = \frac{\partial V_{out}}{\partial V_{in}} \frac{\partial V_{TH2}}{\partial V_{out}} = \frac{\partial V_{out}}{\partial V_{in}} \frac{\partial V_{TH2}}{\partial V_{SB2}} = A_v \eta_2 \quad \therefore \sqrt{\left(\frac{W}{L}\right)_1} = -\sqrt{\left(\frac{W}{L}\right)_2} (1 + \eta_2) A_v$$

$$\rightarrow A_v = -\frac{\sqrt{\left(\frac{W}{L}\right)_1}}{\sqrt{\left(\frac{W}{L}\right)_2}} \times \frac{1}{1 + \eta_2}, \text{ 与小信号分析相同。}$$

$$\eta_2 = \frac{g_{mb2}}{g_{m2}}$$

Vout与Vin成线性特性



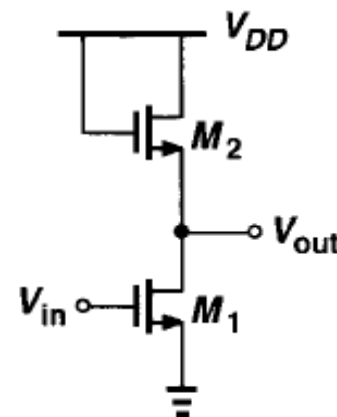


直流工作点

若 M_2 始终在饱和区 $I_{D2} = \frac{1}{2} \mu_n C_{OX} \frac{W_2}{L_2} (V_{GS2} - V_{TH2})^2 = I_{D1}$

$$(1) \quad V_{in} < V_{TH1}, \quad \text{则 } I_{D1} = 0 = I_{D2} = \frac{1}{2} \mu_n C_{OX} \frac{W_2}{L_2} (V_{GS2} - V_{TH2})^2,$$

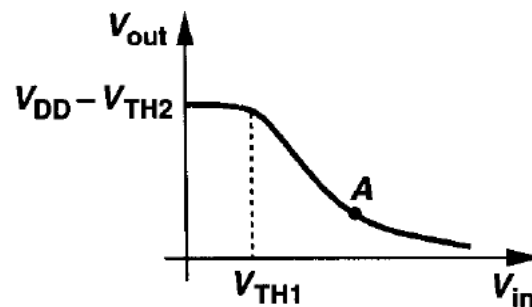
$$\text{得 } V_{GS2} = V_{TH2}, \quad \therefore V_{out} = V_{DD} - V_{TH2} = V_{DD} - V_{TH2}$$



$$(2) \quad V_{in} > V_{TH1} \text{ 时: } \frac{1}{2} \mu_n C_{OX} \left(\frac{W}{L} \right)_1 (V_{in} - V_{TH1})^2 = \frac{1}{2} \mu_n C_{OX} \left(\frac{W}{L} \right)_2 (V_{DD} - V_{out} - V_{TH2})^2$$

$$V_{out} = V_{DD} - V_{TH2} + \sqrt{\frac{(W/L)_1}{(W/L)_2}} V_{TH1} - \sqrt{\frac{(W/L)_1}{(W/L)_2}} V_{in}$$

(3) $V_{in} > V_{out} + V_{TH1}$ (beyond point A), M_1 enters the triode region, the characteristic becomes nonlinear.





PMOS as diode-connected load

This circuit is free from body effect!

channel-length modulation is neglected

$$\begin{aligned} & \frac{1}{2} \mu_n C_{OX} \left(\frac{W}{L} \right)_1 (V_{in} - V_{TH1})^2 \\ &= \frac{1}{2} \mu_p C_{OX} \left(\frac{W}{L} \right)_2 (V_{DD} - V_{out} - V_{TH2})^2 \end{aligned}$$

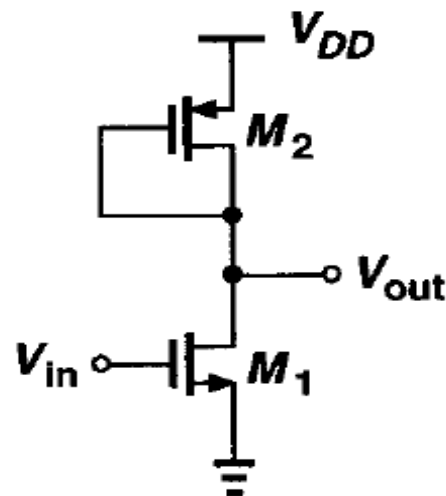


Fig. 3.16 CS stage with diode connected PMOS device

$$A_v = \frac{\partial V_{out}}{\partial V_{in}} = - \frac{\partial V_{GS2}}{\partial V_{in}} = - \sqrt{\frac{\mu_n \left(\frac{W}{L} \right)_1}{\mu_p \left(\frac{W}{L} \right)_2}}$$

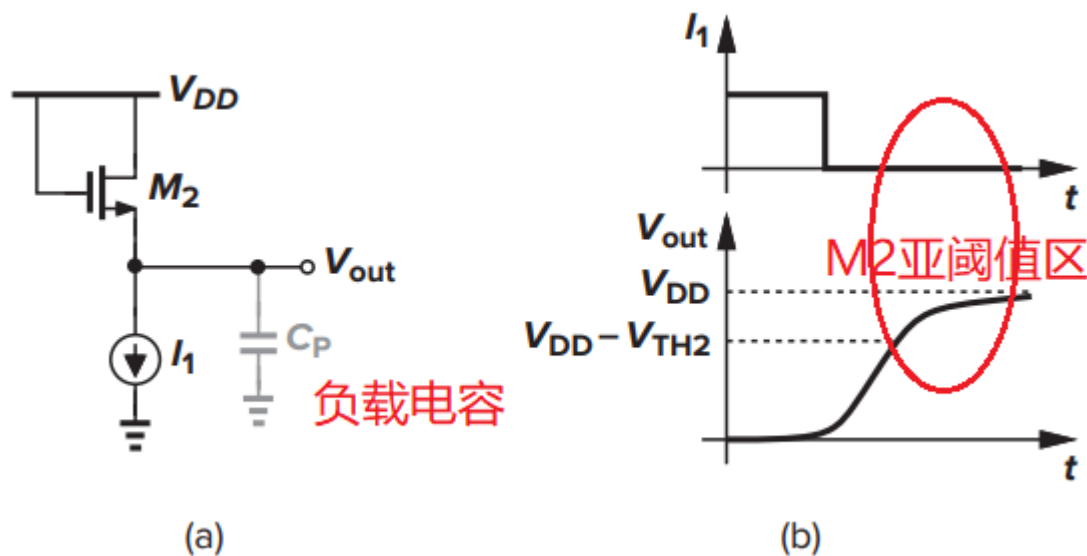
PMOS二极管负载的CS放大器增益比NMOS二极管负载增益大

结论：高增益需要大的输入MOS和小的负载MOS。

二极管负载的共源级放大线性度较好（大信号）。



二极管 $I_D=0$ 的再讨论：动态和静态的区别



若 M_2 始终在饱和区，且 $I_{D2} = \frac{1}{2} \mu_n C_{ox} \frac{W_2}{L_2} (V_{GS2} - V_{Th2})^2 = 0 \Rightarrow V_{GS2} = V_{Th2}$

负载电容充电，使得 V_{GS2} 小于 V_{TH} ，进入亚阈值区。

I_D 长时间 = 0，静态， $V_{out} \rightarrow V_{DD}$

I_D 不断变化，动态， I_D 短暂时间=0时， $V_{out} \rightarrow V_{DD} - V_{TH}$ 。



Fault of CS with diode-connected load

$$\frac{1}{2} \mu_n C_{ox} \left(\frac{W}{L} \right)_1 (V_{in} - V_{TH1})^2 = \frac{1}{2} \mu_p C_{ox} \left(\frac{W}{L} \right)_2 (V_{GS2} - V_{TH2})^2$$

$$\therefore A_v = - \sqrt{\frac{\mu_n \left(\frac{W}{L} \right)_1}{\mu_p \left(\frac{W}{L} \right)_2}} = - \frac{|V_{GS2} - V_{TH2}|}{V_{GS1} - V_{TH1}}, \text{ 过驱动电压之比!}$$

式(3.37)

$$\therefore \mu_n \left(\frac{W}{L} \right)_1 = A_v^2 \mu_p \left(\frac{W}{L} \right)_2, \text{ and}$$

$$|V_{GS2} - V_{TH2}| = -(V_{GS2} - V_{TH2}) = -(V_{out} - V_{DD} - V_{TH2})$$

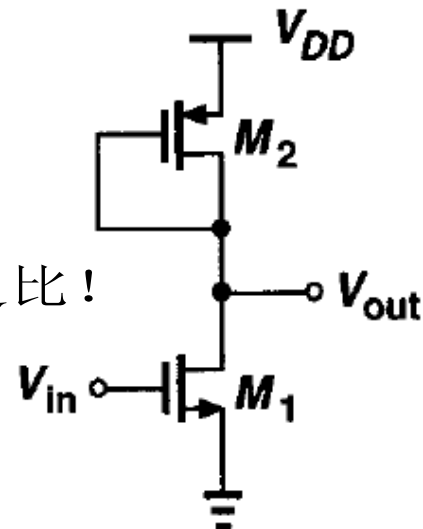
$$= -V_{out} + V_{DD} + V_{TH2} = -A_v (V_{GS1} - V_{TH1})$$

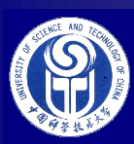
$$\text{得 } V_{out} = V_{DD} + V_{TH2} + A_v (V_{GS1} - V_{TH1})$$

例: $A_v = -10$, $V_{DD} = 3V$, $V_{GS1} - V_{TH1} = 0.2V$, $V_{TH2} = -0.7V$ 。求输出?

解: $V_{out} = 3 - 0.7 - 10 \times 0.2 = 0.3V$, 即 $V_{GS2} = 2.7V$ 很大, 不好!

$V_{DS1} = 0.3V > V_{GS1} - V_{TH1} = 0.2V$, 虽在饱和区, 但输出允许摆幅很小





How to explain the paradox

$$A_v \approx -\frac{g_{m1}}{g_{m2}} = -\frac{\mu_n \left(\frac{W}{L}\right)_1 (V_{GS1} - V_{TH1})}{\mu_p \left(\frac{W}{L}\right)_2 |V_{GS2} - V_{TH2}|} \quad A_v = -\sqrt{\frac{\mu_n \left(\frac{W}{L}\right)_1}{\mu_p \left(\frac{W}{L}\right)_2}} = -\frac{|V_{GS2} - V_{TH2}|}{V_{GS1} - V_{TH1}}$$

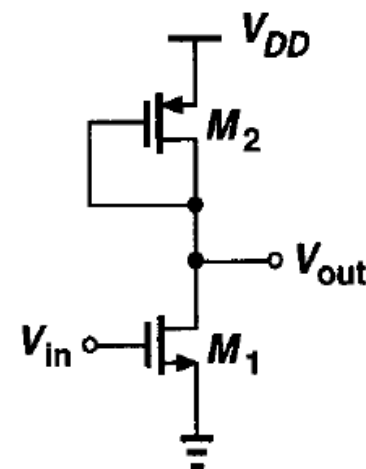
矛盾?

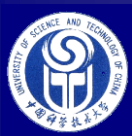
大信号 $-V_{GS2} = -V_{DS2} = V_{DD} - V_{DS1}$ 与 V_{GS1} 联动

$$\frac{1}{2} \mu_n C_{OX} \left(\frac{W}{L}\right)_1 (V_{GS1} - V_{TH1})^2 = \frac{1}{2} \mu_p C_{OX} \left(\frac{W}{L}\right)_2 (V_{GS2} - V_{TH2})^2$$

$$A_v = -\frac{\mu_n \left(\frac{W}{L}\right)_1}{\mu_p \left(\frac{W}{L}\right)_2} \times \frac{(V_{GS1} - V_{TH1})}{|V_{GS2} - V_{TH2}|}$$

$$= -\frac{\mu_n \left(\frac{W}{L}\right)_1}{\mu_p \left(\frac{W}{L}\right)_2} \times \sqrt{\frac{\mu_p \left(\frac{W}{L}\right)_2}{\mu_n \left(\frac{W}{L}\right)_1}} = -\sqrt{\frac{\mu_n \left(\frac{W}{L}\right)_1}{\mu_p \left(\frac{W}{L}\right)_2}} = -\frac{|V_{GS2} - V_{TH2}|}{V_{GS1} - V_{TH1}}$$





Example 3.3 : 增加gain的思路

减小负载管电流，增加负载电阻（ $1/g_{m2}$ ）。

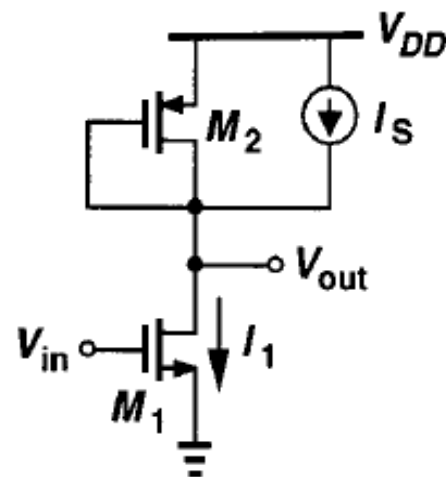
M_2 电流减小到 I_1 的 $1/K$ ，即增加电流源 $I_S = \frac{K-1}{K} I_1$

$$\mu_n \left(\frac{W}{L} \right)_1 (V_{GS1} - V_{TH1})^2 \approx K \mu_p \left(\frac{W}{L} \right)_2 (V_{GS2} - V_{TH2})^2, \text{ 未考虑 } \lambda$$

得到:
$$\sqrt{\frac{\mu_n \left(\frac{W}{L} \right)_1}{\mu_p \left(\frac{W}{L} \right)_2}} = \sqrt{K} \frac{|V_{GS2} - V_{TH2}|}{V_{GS1} - V_{TH1}}$$

$$A_v \approx -g_{m1} \times \frac{1}{g_{m2}} = - \frac{\sqrt{2\mu_n C_{ox} \left(\frac{W}{L} \right)_1 I_{D1}}}{\sqrt{2\mu_p C_{ox} \left(\frac{W}{L} \right)_2 I_{D2}}}$$

$$= - \sqrt{\frac{\mu_n \left(\frac{W}{L} \right)_1 K}{\mu_p \left(\frac{W}{L} \right)_2}} = K \frac{|V_{GS2} - V_{TH2}|}{V_{GS1} - V_{TH1}}$$

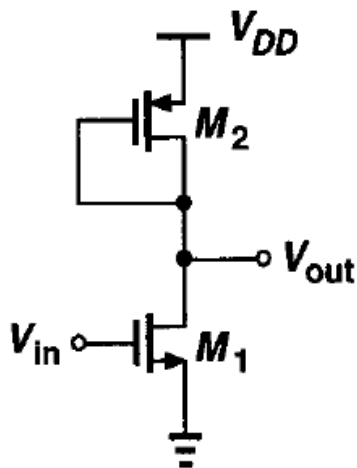


设电流源输出电阻极大

增加了 \sqrt{K} 增益，而且减小了K倍M2过驱动电压，扩大了输出动态范围



沟道长度调制效应：计入并联 r_o 阻抗



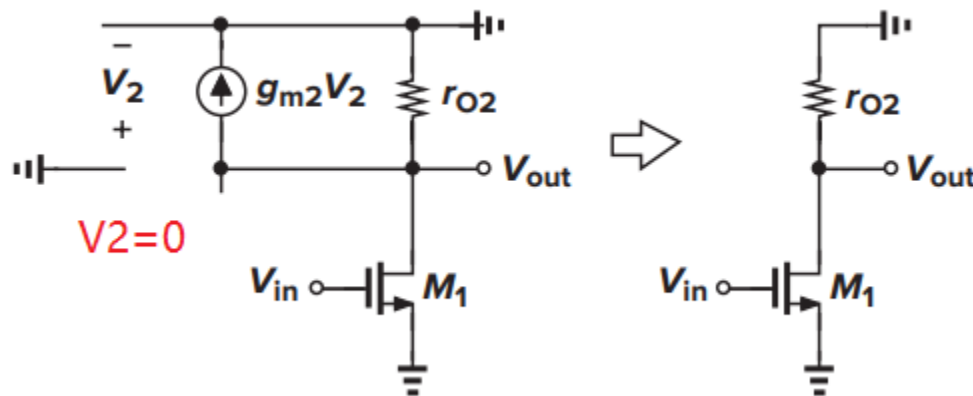
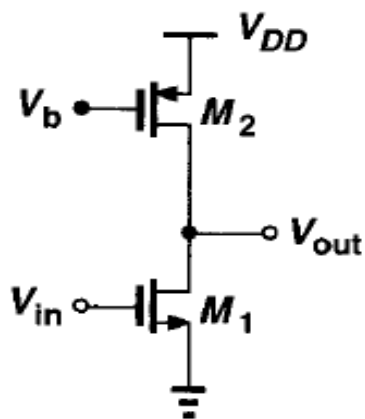
$$A_v \approx -g_{m1} \times R_D = -g_{m1} \left(\frac{1}{g_{m2}} \parallel r_{o1} \parallel r_{o2} \right)$$



3.3.3 CS Stage with current-source Load

若实际电阻做放大器的上拉负载，则直流和交流阻抗相同。由于输出工作点电压和直流电流的限制，一般情况下 R_D 不能很大，故增益较小。

增大小信号 R_D 的方法：**饱和区M2电流源**（ L_2 大）做CS负载， r_{o2} 很大。



交变小信号增益： $A_v = -g_m(r_{o1} || r_{o2})$ $L \uparrow \Rightarrow r_o \uparrow \Rightarrow A_v \uparrow$

输出直流工作点电压可变化范围很大：

$$V_b + |V_{TH2}| > V_{out} > V_{in} - V_{TH1}$$

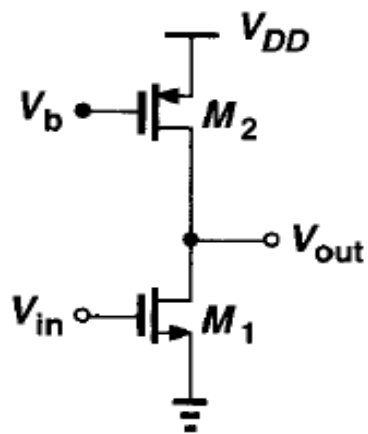
缺点：电流源负载CS放大电路的输出DC电位需要通过其它方法确定。

(1) Intrinsic gain(本征增益):

$$g_m r_o = \sqrt{2\mu C_{ox} \frac{W}{L} I_D} \times \frac{1}{\lambda I_D} \propto \sqrt{2\mu C_{ox} \frac{W}{L} I_D} \times \frac{L}{I_D}$$

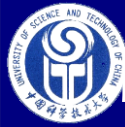
$$\therefore g_m r_o \propto \sqrt{2\mu C_{ox} \frac{WL}{I_D}} \quad \text{面积换增益}$$

(2) 电流源负载CS增益:

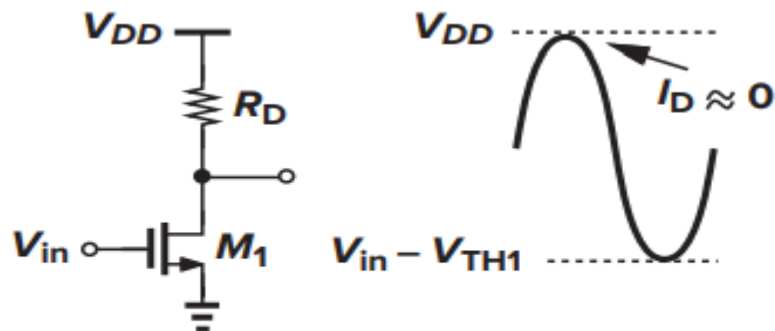


不妨设2管 λ 和 L 相同, $A_v = \sqrt{2\mu_n C_{ox} \left(\frac{W}{L}\right)_1 I_D} \times \frac{1}{2\lambda I_D}$

$$\propto \sqrt{2\mu_n C_{ox} \left(\frac{W}{L}\right)_1 I_D} \times \frac{L_1}{2I_D} = \sqrt{\mu C_{ox} \frac{(WL)_1}{2I_D}}$$



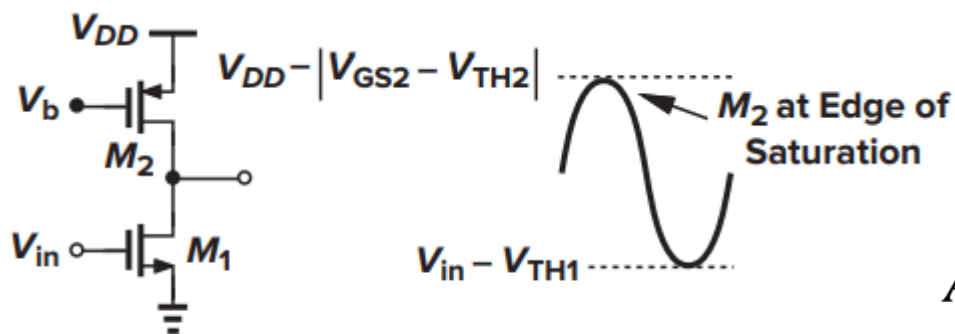
电阻负载和电流源负载CS输出电压比较



(a)

输出上限 V_{DD}

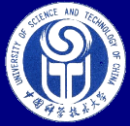
$$A_v = -g_{m1}(R_D || r_o)$$



(b)

输出上限 $V_{b+}|V_{TH2}|$
 $= V_{DD} - |V_{GS2} - V_{TH2}|$

$$A_v = -g_{m1}(r_{o1} || r_{o2})$$



3.3.4 有源负载的CS

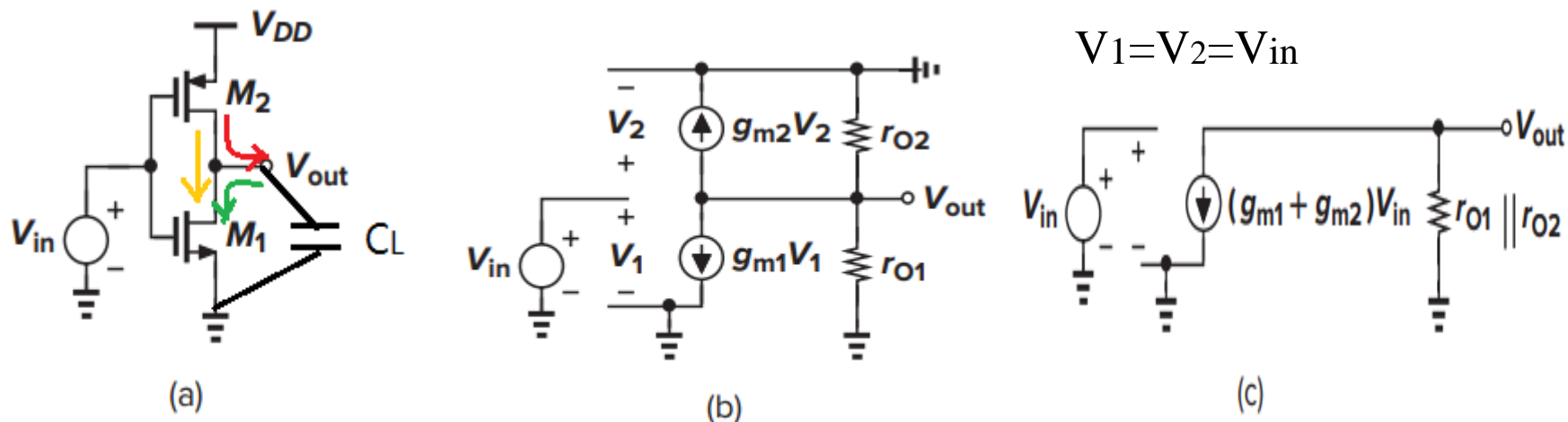


Figure 3.20 (a) CS stage with active load, (b) small-signal model, and (c) simplified model.

电路结构特点：输入管 M_1 的负载管 M_2 上加信号， M_2 成为“有源”负载；

同样理解，输入管 M_2 的负载管 M_1 上加信号， M_1 成为“有源”负载。

输出信号：2管相互增强，跨导增大！

$\Delta V_{out} = (I_{D2} - I_{D1})^t / C_L$ V_{in} 增大， I_{D1} 增大 I_{D2} 减小， C_L 放电， V_{out} 下降加快
 V_{in} 降低， I_{D1} 减小 I_{D2} 增大， C_L 充电， V_{out} 上升加快

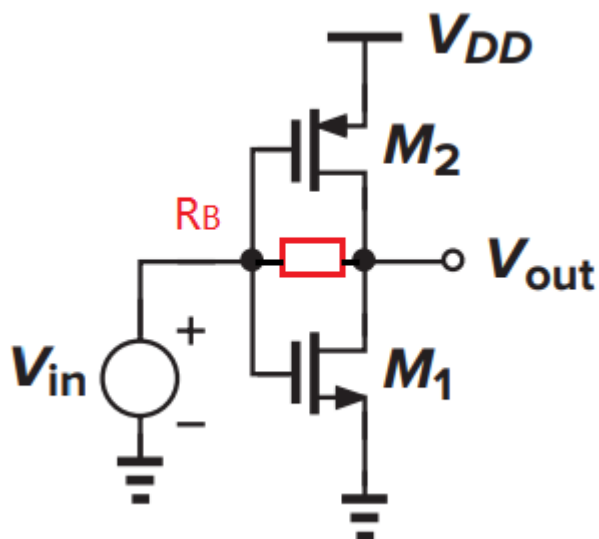
$$A_v = -(g_{m1} + g_{m2})(r_{O1} || r_{O2})$$



有源负载CS与反相器的区别

反相器属于数字电路，输入大幅度变化(V_{DD} 和GND) 2值逻辑高低电平信号。

有源负载CS放大器属于模拟电路，输入是直流电平（工作点）为1/2电源的小幅度变化模拟信号，合理的输出工作点电平也应是1/2电源。



V_{in} 变化幅度很小，可近似视为交流接地。

$$A_v = -(g_{m1} + g_{m2})(r_{o1} || r_{o2} || R_B)$$

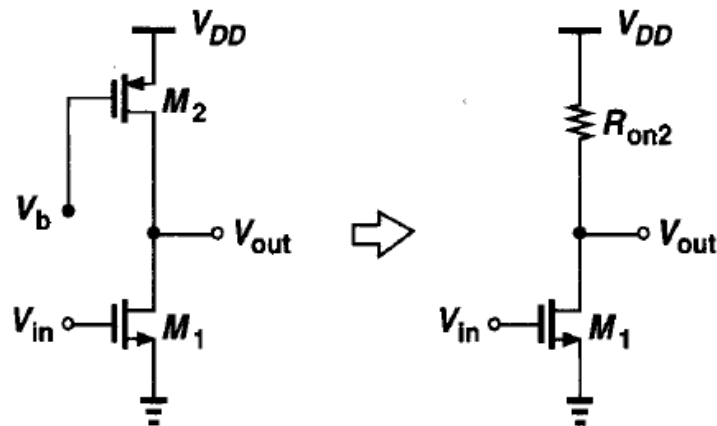


3.3.5 CS with Triode MOSFET Load

深线性区工作的MOS器件，伏安特性为电阻。

$$R_{on2} = \frac{1}{\mu_p C_{ox} \left(\frac{W}{L} \right)_2 (V_{DD} - V_b - |V_{TP}|)}$$

缺点是 $|V_{GS}| = V_{DD} - V_b$ 中噪声较大。





3.3.6 CS with source degeneration

源极负反馈(源简并)

$$V_{out} = V_{DD} - I_D R_D$$

$$I_D = \frac{1}{2} \mu_n C_{ox} \frac{W}{L} (V_{GS} - V_{Th})^2$$

V_{GS} 变化大时有明显的非线性。

设计思想：采用负反馈（假设需要利用负反馈的其它特性）

使输入电压 V_{in} 一部分损失在 R_S 上，

V_{GS} 减小，使得 I_D 非线性项减小。

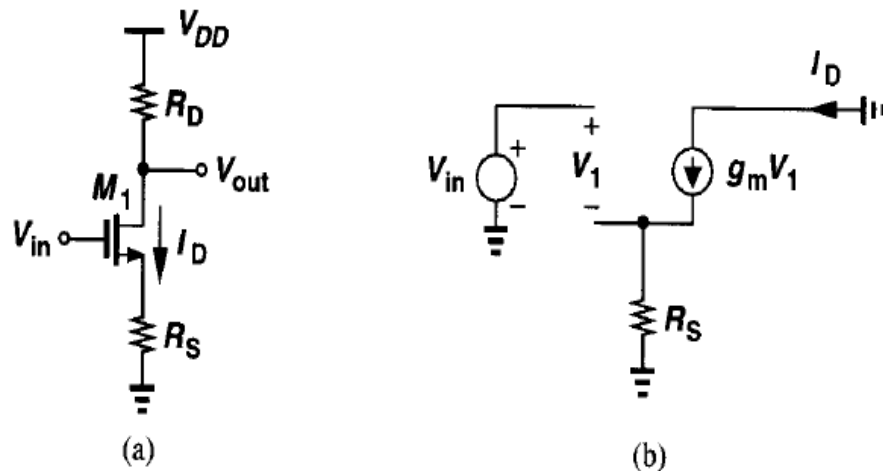
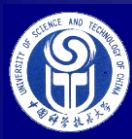


图3.23 带源极负反馈的共源极

$R_S = 0$ 时: $A_v = -g_m R_D$, g_m 定义为MOSFET的跨导

$$g_m = \frac{\partial I_D}{\partial V_{GS}} = \mu_n C_{ox} (W / L) (V_{GS} - V_{TH}) = \sqrt{2 \mu_n C_{ox} \frac{W}{L} I_D}$$



小信号电压增益与电路等效跨导

$$R_S \neq 0 \text{ 时: } V_{GS} = V_{in} - I_D R_S$$

$$\text{定义电路跨导 } G_m = \frac{\partial I_D}{\partial V_{in}} = \frac{\partial I_D}{\partial V_{GS}} \frac{\partial V_{GS}}{\partial V_{in}} = \frac{\partial I_D}{\partial V_{GS}} \left(1 - \frac{\partial I_D}{\partial V_{in}} R_S\right) = g_m (1 - G_m R_S)$$

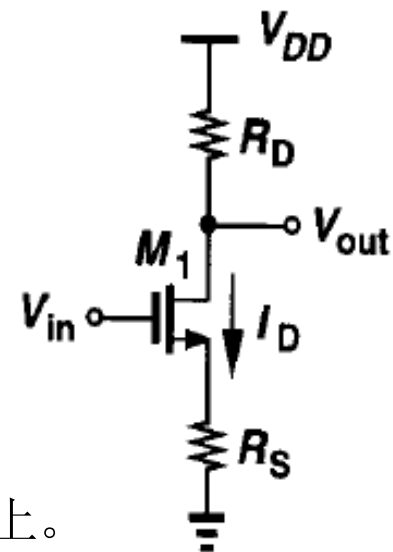
$$\text{得到: } G_m = \frac{g_m}{1 + g_m R_S} = \frac{1}{\frac{1}{g_m} + R_S}$$

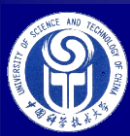
$$\text{不考虑 } \lambda \text{ 时 } A_v = \frac{\partial V_{out}}{\partial V_{in}} = -\frac{\partial I_D}{\partial V_{in}} R_D = -G_m R_D = \frac{-g_m R_D}{1 + g_m R_S}$$

$$\text{当 } g_m R_S \gg 1 \text{ 时, } A_v = -G_m R_D \approx -\frac{R_D}{R_S}, \therefore G_m \approx \frac{1}{R_S}$$

此时 $\Delta V_{in} = \frac{\Delta I_D}{G_m} \approx R_S \Delta I_D$, 表明输入的变化信号基本都加在 R_S 上。

交变输出电流 ΔI_D 以及电压 ΔV_{out} 的线性变好, 代价是增益变小。



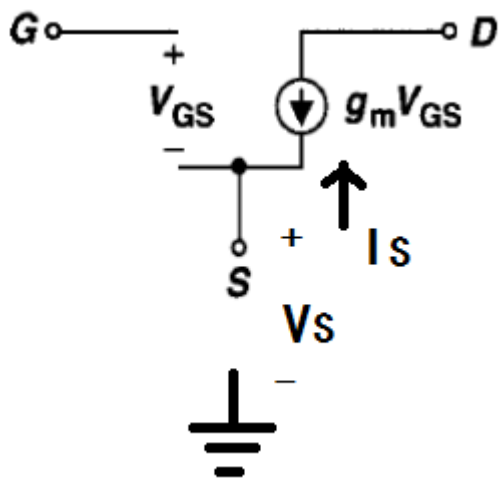


带源极反馈电阻CS增益的简便计算方法

$$A_v = -G_m R_D = -\frac{g_m}{1 + g_m R_S} R_D = -\frac{R_D}{\frac{1}{g_m} + R_S}$$

忽略沟道长度调制效应

- 增益=漏极通路电阻/源极通路从地向上看到的电阻



假设可近似:

$$\lambda = \gamma = 0$$

$$\text{MOS的} S \text{极小信号电阻} = \frac{V_S}{I_S} = \frac{-V_{GS}}{-g_m V_{GS}} = \frac{1}{g_m}$$

(\because 求输出阻抗时输入电压 = 0, 即 G 交流接地)

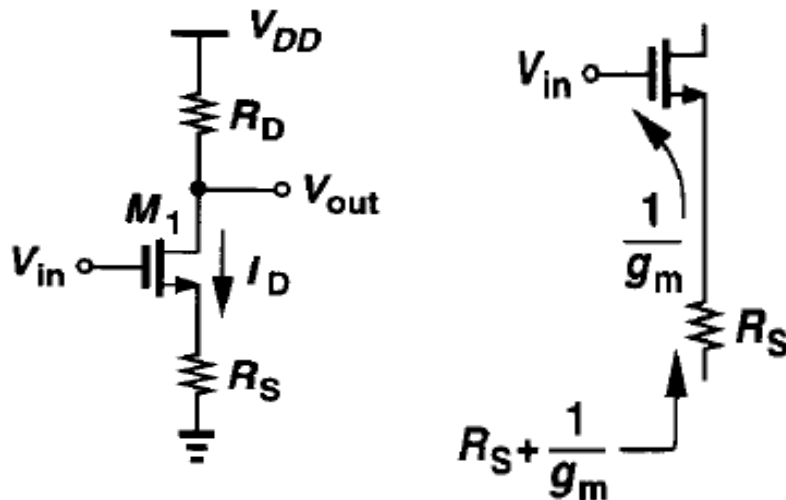


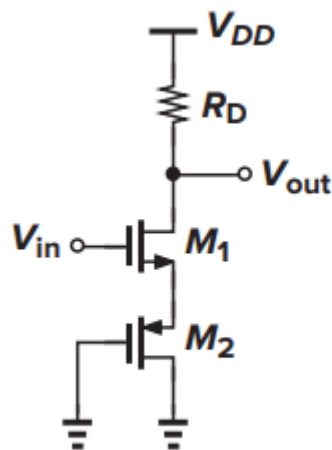
Figure 3.27 resistance seen in the source path



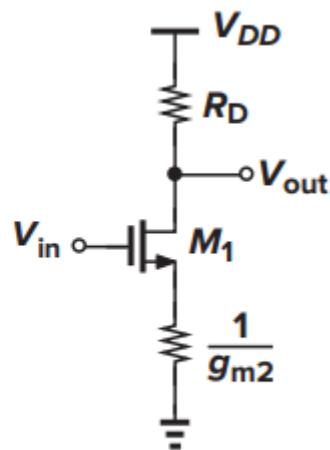
Example

(1) 设 $\lambda = 0, \gamma = 0$

$$A_v = -\frac{R_D}{\frac{1}{g_{m1}} + \frac{1}{g_{m2}}}$$

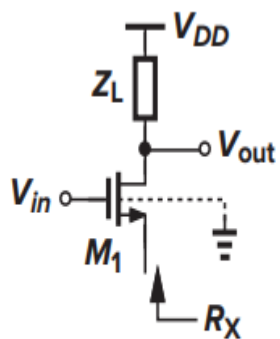


(a)

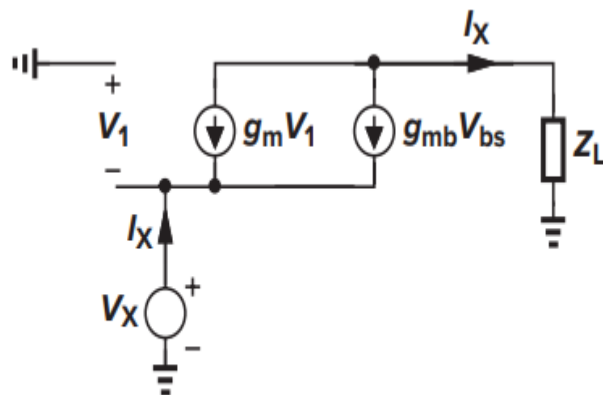


(b)

(2) 求 R_X ? 设 $\lambda = 0, \gamma \neq 0$



(a)



(b)

$$V_1 = -V_X, V_{bs} = -V_X$$

$$(g_m + g_{mb})V_X = I_X$$

$$R_X = V_X / I_X = 1 / (g_m + g_{mb})$$

因 g_{mb} 实质是从源-衬底加入信号，增益将减小， A_v 计算不能直接将 g_{m1} 改为 $g_{m1} + g_{mb1}$



辅助定律（电路基本理论，适用交流信号）

在线性电路中，**开路电压增益**等于 $-G_m R_{out}$ ，其中 G_m 表示**输出与地短接（恒压）时的电路跨导**（ $G_m = I_{out}/V_{in}$ ）。 R_{out} 表示当输入电压为零时（ $I_{out} = G_m V_{in} = 0$ ）电路的输出电阻。

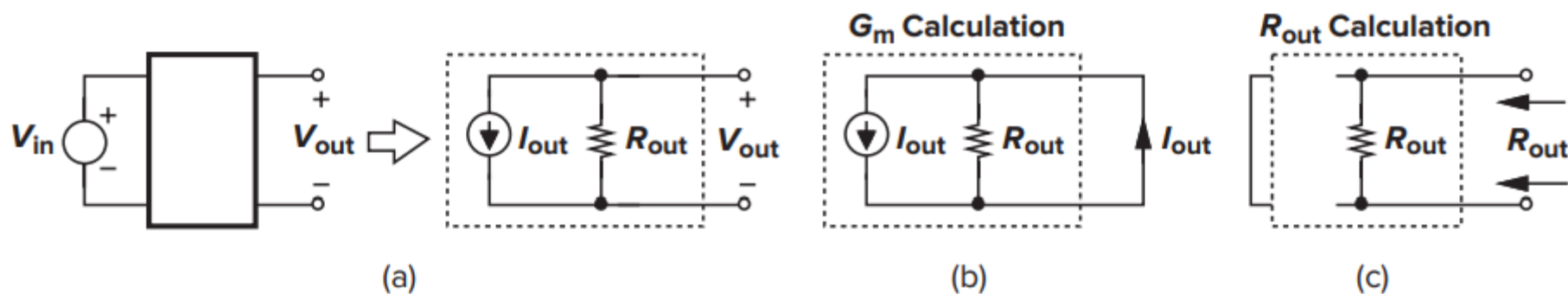


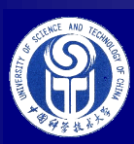
Figure 3.32 (a) Norton equivalent of a linear circuit; (b) G_m calculation; and (c) R_{out} calculation.

输出开路（不接负载）电压： $V_{out} = -I_{out} R_{out} = -G_m V_{in} R_{out}$

带负载 R_D 时小信号输出电压： $V_{out} = -I_{out} (R_{out} \parallel R_D)$

$= -V_{in} G_m (R_{out} \parallel R_D)$

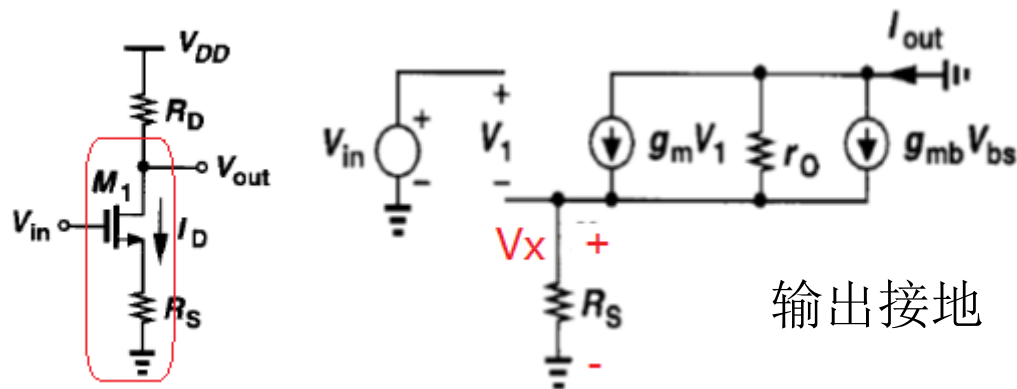
负载 R_D 可后加计算



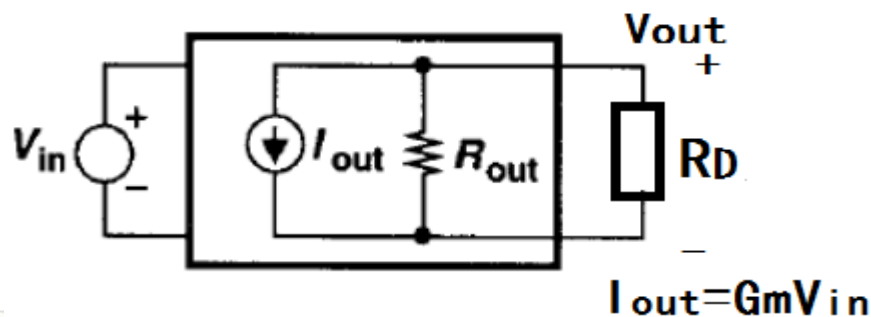
Gm with body effect and channel-length modulation

考虑沟道长度调制和体效应。

电路交变小信号跨导: $G_m = \frac{I_{out}}{V_{in}}$?



$$\begin{aligned}
 \text{输出接地交变电流 } I_{out} &= g_m V_1 + g_{mb} V_{bs} - \frac{V_X}{r_o} = g_m V_1 - g_{mb} V_X - \frac{V_X}{r_o} \\
 &= g_m V_1 - g_{mb} I_{Rs} R_S - \frac{I_{Rs} R_S}{r_o} = g_m (V_{in} - I_{out} R_S) - g_{mb} I_{out} R_S - \frac{I_{out} R_S}{r_o} \\
 \longrightarrow G_m &= \frac{I_{out}}{V_{in}} = \frac{g_m r_o}{R_S + [1 + (g_m + g_{mb}) R_S] r_o}, \text{ 式 (3.61)}
 \end{aligned}$$



$$A_v = -G_m (R_{out} \parallel R_D) \approx -G_m R_D$$

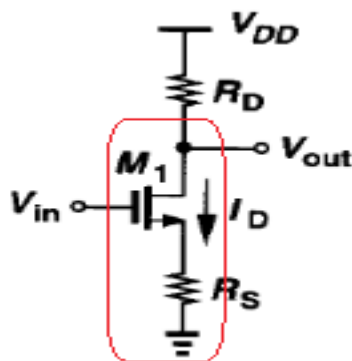
Rout见式 (3.66)



Output resistance of degenerated CS

$$R_{out} = \frac{V_x}{I_x}$$

令 $V_{in} = 0$, 先不考虑 R_D



$$V_{bs} = V_1 = -I_x R_S$$

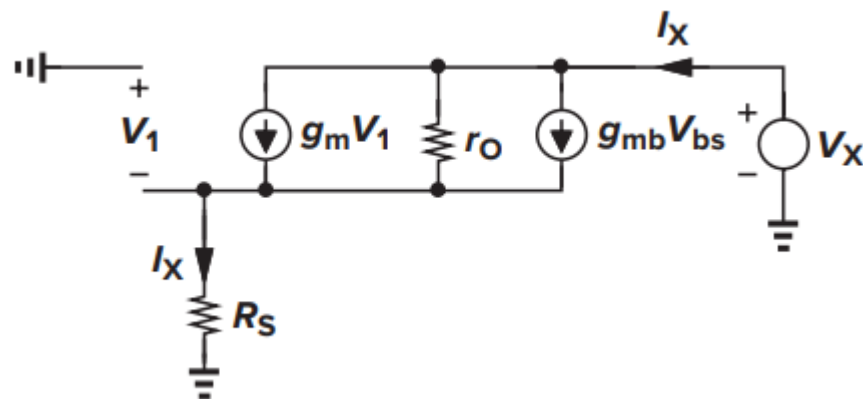


图3.29

$$\begin{aligned} V_x &= r_o [I_x - g_m V_1 - g_{mb} V_{bs}] + I_x R_S \\ &= r_o [I_x + (g_m + g_{mb}) I_x R_S] + I_x R_S \end{aligned}$$

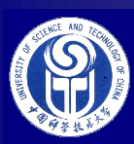
$$R_{out} = \frac{V_x}{I_x} = [1 + (g_m + g_{mb}) R_S] r_o + R_S = [1 + (g_m + g_{mb}) r_o] R_S + r_o, \quad \text{式(3.66)}$$

$$\because (g_m + g_{mb}) r_o \gg 1$$

$$\therefore R_{out} \approx (g_m + g_{mb}) r_o \times R_S + r_o$$

源极负反馈:

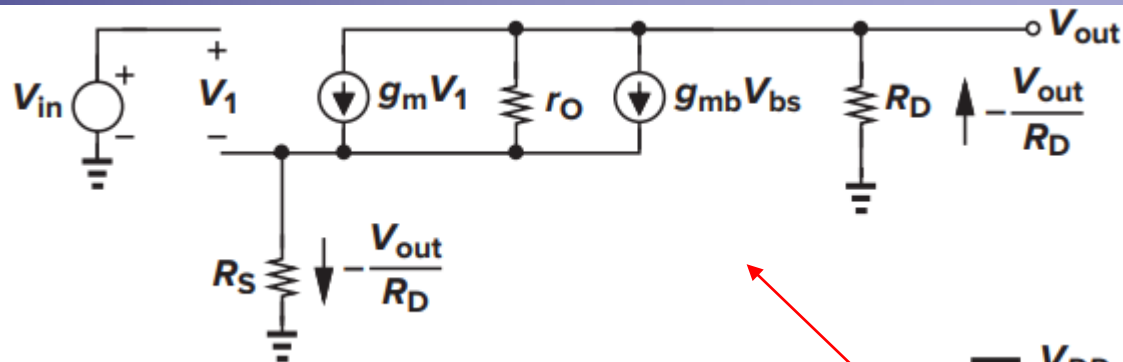
增大共源级的输出电阻。



验证：包含 R_D 的公式推导

$$I_{R_S} = -I_{R_D} = -\frac{V_{out}}{R_D}$$

$$V_{bs} = -V_{R_S}$$



$$I_{ro} = -I_{RD} - (g_m V_1 + g_{mb} V_{bs}) = -\frac{V_{out}}{R_D} - [g_m (V_{in} - V_{RS}) - g_{mb} V_{RS}]$$

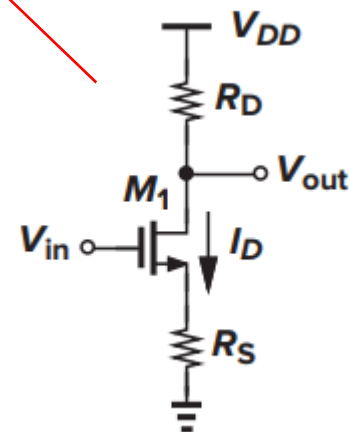
$$= -\frac{V_{out}}{R_D} - [g_m (V_{in} + \frac{V_{out}}{R_D} R_S) + g_{mb} \frac{V_{out}}{R_D} R_S]$$

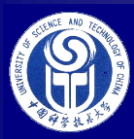
$$V_{out} = I_{ro} r_o + V_{RS} = I_{ro} r_o - \frac{V_{out}}{R_D} R_S$$

$$= -\frac{V_{out}}{R_D} r_o - [g_m (V_{in} + \frac{V_{out}}{R_D} R_S) + g_{mb} \frac{V_{out}}{R_D} R_S] r_o - \frac{V_{out}}{R_D} R_S$$

$$A_v = \frac{V_{out}}{V_{in}} = -\frac{g_m r_o R_D}{R_D + R_S + r_o + (g_m + g_{mb}) R_S r_o} = -\frac{g_m r_o R_D}{R_D + \{[1 + (g_m + g_{mb}) r_o] R_S + r_o\}}$$

(3.77)





验证：包含 R_D 的公式推导（续）

分析 A_v 分母大括号项（=带负反馈电阻的共源极的输出电阻 R_{out} ）。

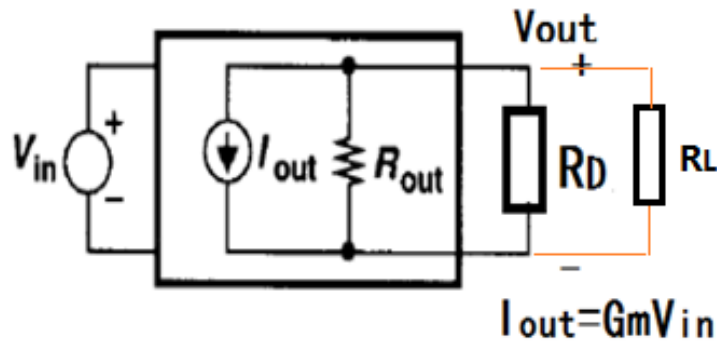
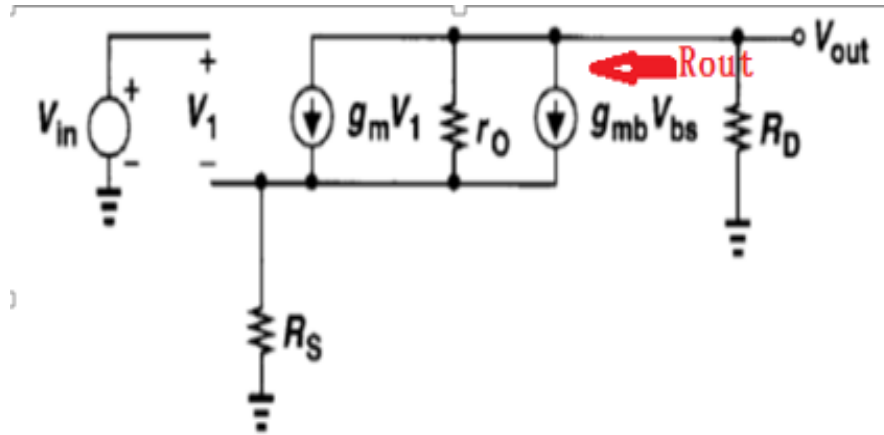
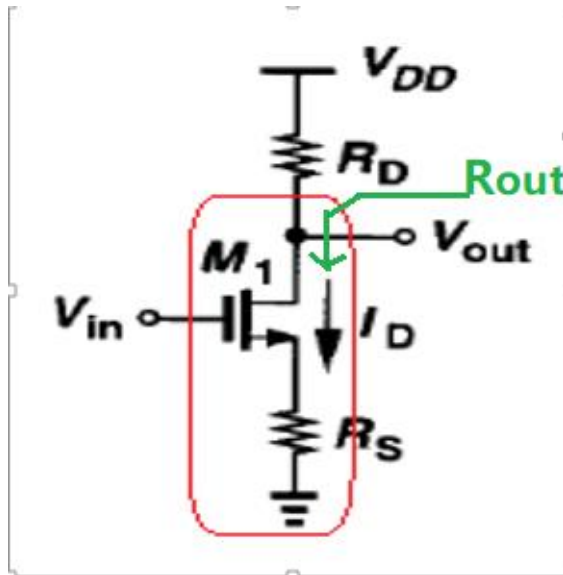
$$\because R_{out} = [1 + (g_m + g_{mb})r_o]R_S + r_o, \text{ 式(3.66)}$$

$$\begin{aligned} A_v &= - \frac{g_m r_o R_D}{R_D + \{[1 + (g_m + g_{mb})r_o]R_S + r_o\}} \cdot \frac{[1 + (g_m + g_{mb})r_o]R_S + r_o}{[1 + (g_m + g_{mb})r_o]R_S + r_o} \\ &= - \frac{g_m r_o}{[1 + (g_m + g_{mb})r_o]R_S + r_o} \cdot \frac{R_D \{[1 + (g_m + g_{mb})r_o]R_S + r_o\}}{R_D + [1 + (g_m + g_{mb})r_o]R_S + r_o} \\ &= -G_m(R_D \parallel R_{out}) \end{aligned}$$

与先不计算 R_D ，再将 R_D 加入电路的计算方法结果一致



Gain of a degenerated CS

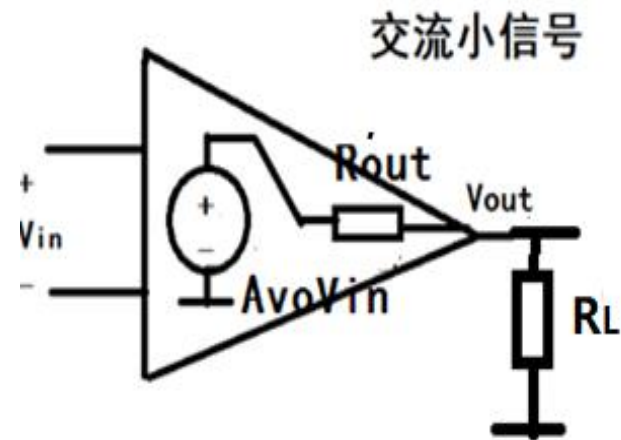


$$V_{out} = -G_m V_{in} (R_{out} \parallel R_D \parallel R_L)$$

G_m 输出接地求出

$$A_{v0} = -G_m (R_{out} \parallel R_D)$$

$$A_v = A_{v0} \cdot R_L / (R_{out} \parallel R_D + R_L)$$





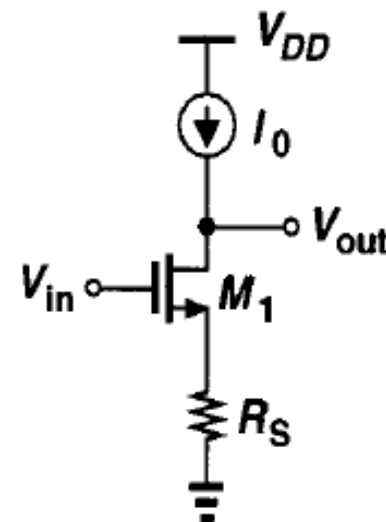
例 3.11 calculate the voltage gain

Solution

$$A_v = - \frac{g_m R_D r_o}{R_D + \{ [1 + (g_m + g_{mb}) r_o] R_S + r_o \}}$$
$$= -g_m r_o, \quad \text{式(3.77) 中 } R_D = \infty$$

$$\text{或 } A_v = -G_m (R_{out} \parallel R_D) = -G_m R_{out}$$

$$= - \frac{g_m r_o}{[1 + (g_m + g_{mb}) r_o] R_S + r_o} \bullet \{ [1 + (g_m + g_{mb}) r_o] R_S + r_o \}$$
$$= -g_m r_o$$



与 R_S 无关。原因是电流不变， R_S 上的小信号（变化）压降=0

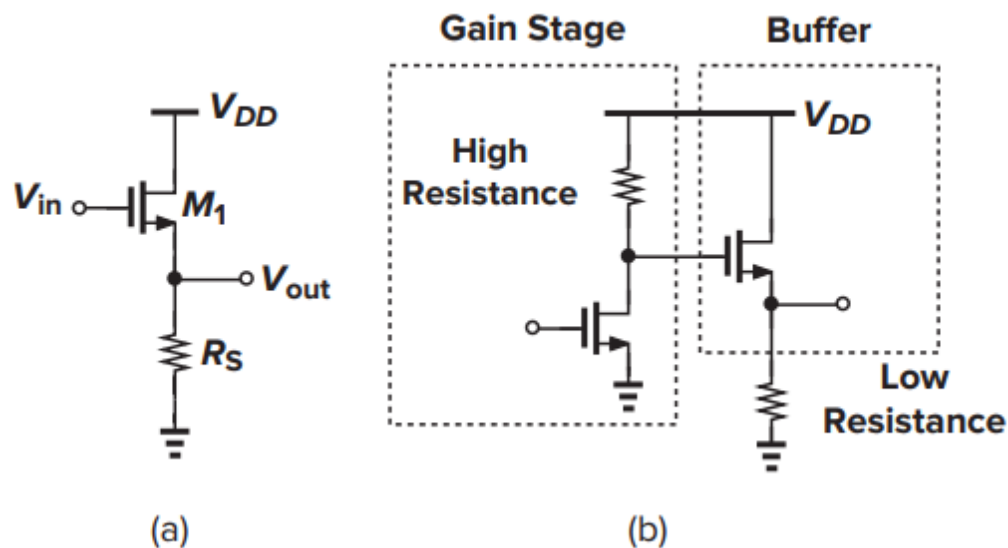


3.4 source follower 源跟随器

common-drain stage

特点:

- *小信号输出电压近似等于输入电压（小信号 R_S 大）；
- *低频输入阻抗大，
- *输出阻抗小（ $1/g_m$ ）。



作用： 当两级放大器级联时，若前级输出电阻大，或后级输入电阻 R_L 小，则在两级放大器之间插入源跟随器，可以提高多级放大器的电压增益，即用作缓冲（驱动）电路，要求：输出阻抗（ $1/g_m$ ）远小于后级电路输入阻抗 R_L 。



Large-signal & Small-signal behavior

忽略沟道长度调制效应

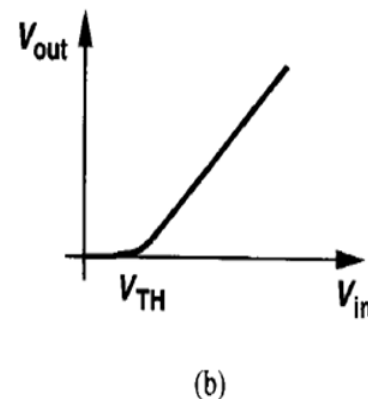
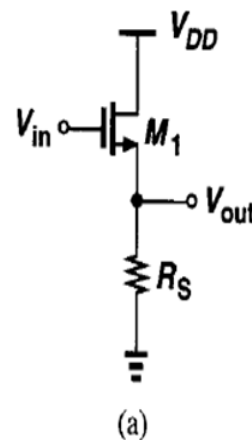
$$V_{out} = \frac{1}{2} \mu_n C_{ox} \frac{W}{L} (V_{in} - V_{out} - V_{TH})^2 R_S$$

$$\text{小信号 } A_v = \frac{\partial V_{out}}{\partial V_{in}}$$

$$= \mu_n C_{ox} \frac{W}{L} (V_{in} - V_{out} - V_{TH}) \left(1 - \frac{\partial V_{out}}{\partial V_{in}} - \frac{\partial V_{TH}}{\partial V_{in}}\right) R_S$$

$$\text{由第2章: } \frac{\partial V_{TH}}{\partial V_{in}} = \frac{\partial V_{TH}}{\partial V_{SB}} \frac{\partial V_{SB}}{\partial V_{in}} = \eta \frac{\partial V_{out}}{\partial V_{in}} = \eta A_v$$

$$\therefore A_v = \mu_n C_{ox} \frac{W}{L} (V_{in} - V_{out} - V_{TH}) (1 - A_v - \eta A_v) R_S$$



$$\eta = \frac{g_{mb}}{g_m} = \frac{\frac{\partial I_D}{\partial V_{BS}}}{\frac{\partial I_D}{\partial V_{GS}}}$$

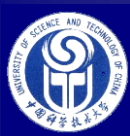


Gain of Source Follower(SF)

$$A_v = \frac{\partial V_{out}}{\partial V_{in}} = \frac{\mu_n C_{ox} \frac{W}{L} (V_{in} - V_{out} - V_{TH}) R_S}{1 + \mu_n C_{ox} \frac{W}{L} (V_{in} - V_{out} - V_{TH}) R_S (1 + \eta)} = \frac{g_m R_S}{1 + (g_m + g_{mb}) R_S} < 1$$

$$g_m = \mu_n C_{ox} \frac{W}{L} (V_{in} - V_{out} - V_{TH})$$

$$g_{mb} = \eta g_m = \frac{\gamma}{2\sqrt{2\Phi_F + V_{SB}}} g_m$$



SF小信号等效电路得到相同结果

$$V_1 = V_{in} - V_{out}$$

$$V_{bs} = -V_{sb} = -V_{out} \quad \text{为何} r_o \text{可忽略?}$$

$$\therefore g_m V_1 + g_{mb} V_{bs} = g_m (V_{in} - V_{out}) - g_{mb} V_{out} = \frac{V_{out}}{R_S}$$

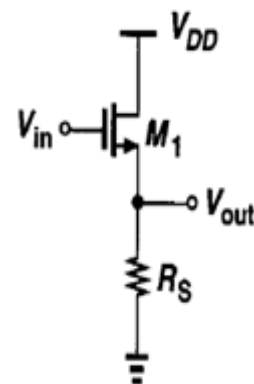
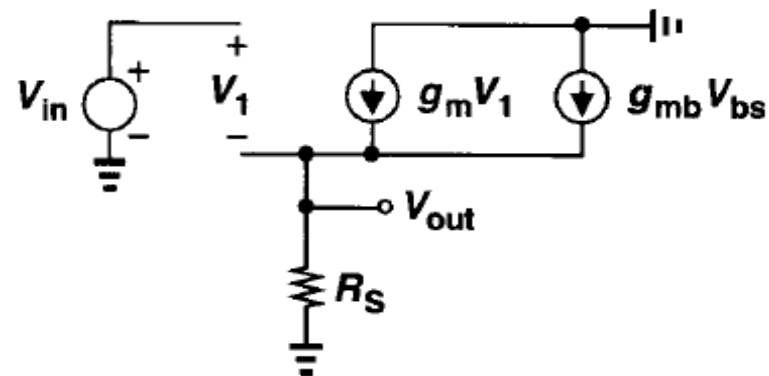
$$A_v = \frac{\partial V_{out}}{\partial V_{in}} \quad (\text{即等效电路图中 } \frac{V_{out}}{V_{in}})$$

$$= \frac{g_m R_S}{1 + (g_m + g_{mb}) R_S} < 1$$

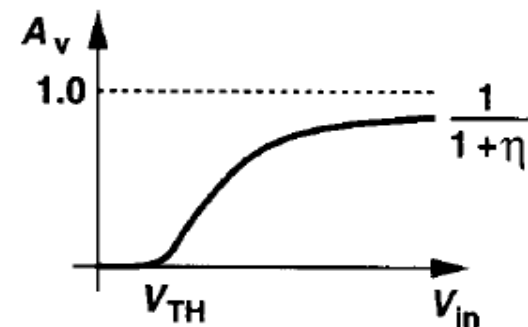
与大信号推导结果相同

当 $g_m R_S \gg 1$ 时

$$A_v \approx \frac{g_m R_S}{(g_m + g_{mb}) R_S} = \frac{1}{1 + \eta} \quad \text{达到“不变”的最大增益}$$

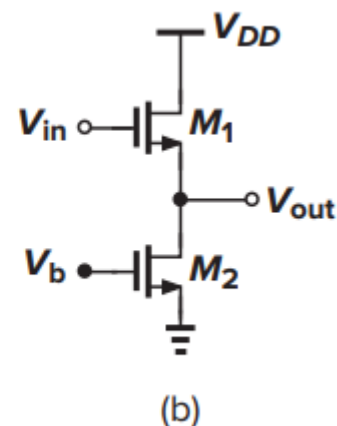
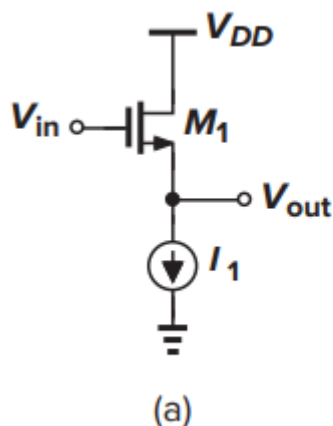
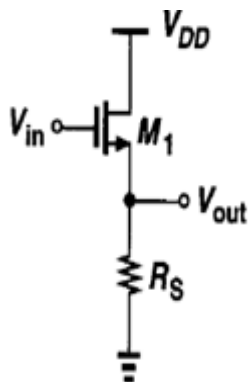


$$\eta = \frac{g_{mb}}{g_m} \quad \text{可取} 0.2 \text{ 估算}$$





采用电流源的源跟随器



$R_S = \infty$ 时

$$A_v = \frac{g_m R_S}{1 + (g_m + g_{mb}) R_S} = \frac{1}{1 + \eta}$$

最大增益=MOS本征增益

保证M2处于饱和区。

$$V_b - V_{out} < V_{TH2}$$

设计注意事项:

1. 体效应导致 V_{TH} 变化, 导致输入输出之间的非线性 (大输入范围时);
2. 直流电平移动导致电压余度(headroom)减少。



源跟随器的输出电阻

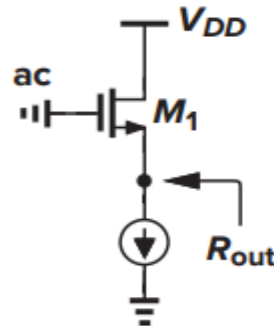
sup pose : $\lambda \approx 0$

$$V_1 = -V_X,$$

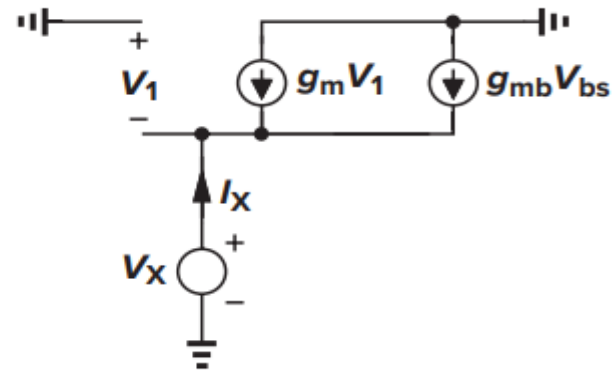
$$\begin{aligned} I_X + g_m V_1 + g_{mb} V_{bs} \\ = I_X - g_m V_X - g_{mb} V_X = 0 \end{aligned}$$

$$R_{out} = \frac{V_X}{I_X} = \frac{1}{g_m + g_{mb}} = \frac{1}{g_m} \parallel \frac{1}{g_{mb}}$$

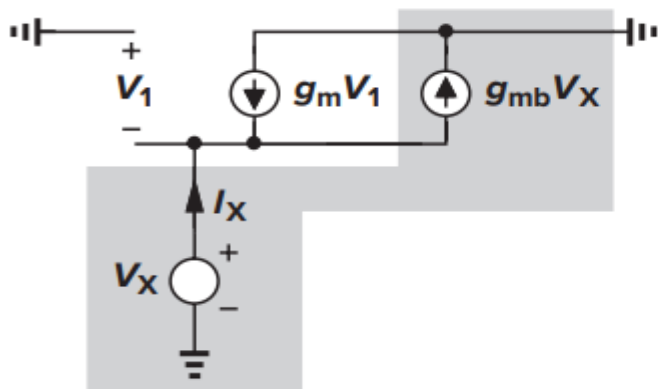
与二极管相同!
几十欧~几千欧, 很小。



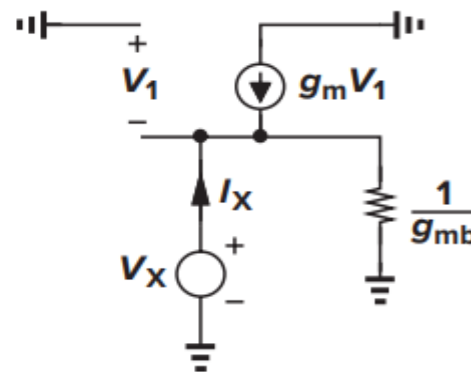
(a)



(b)

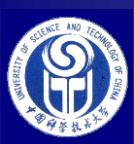


(a)

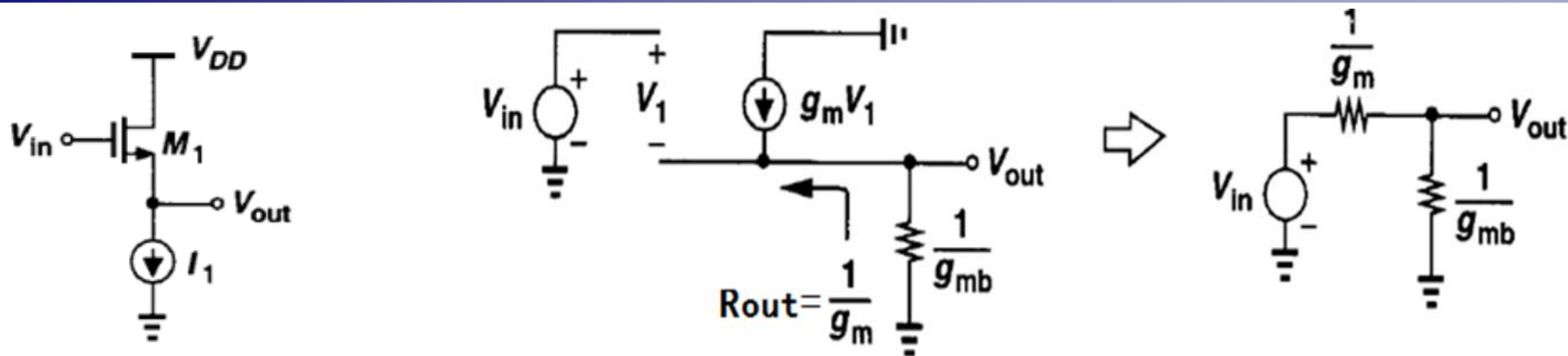


(b)

体效应等效于
输出电阻 $1/g_{mb}$.



另一种方法：用辅助定理求Intrinsic gain of SF



求 R_{out} : 令 $V_{in} = 0$, 则 $V_{out} = -V_1$

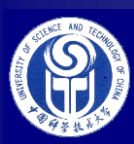
$$\text{负载开路 } R_{out} = \frac{V_{out}}{-g_m V_1} = \frac{1}{g_m}$$

总结：源跟随器MOS看成有一内阻 $1/g_m$ 串联 $1/g_{mb}$ 。
若有负载阻抗，则与 $1/g_{mb}$ 并联。

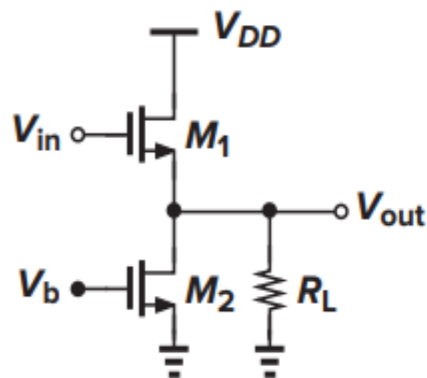
交流输出短路 ($V_1 = V_{in}$) 电流: $I_{SC} = g_m V_1 = g_m V_{in}$

开路输出电压 (戴维宁电路): $V_{OC} = R_{out} I_{SC} = \frac{1}{g_m} g_m V_{in} = V_{in}$

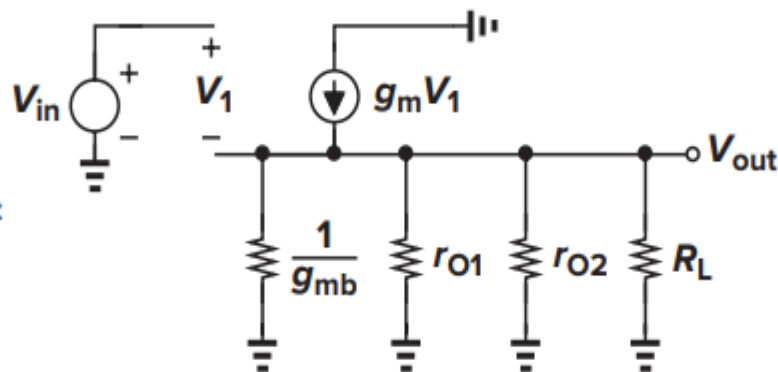
$$\text{无实际 } R_L \text{ 负载时 } A_v = \frac{V_{out}}{V_{in}} = \frac{\frac{1}{g_{mb}}}{\frac{1}{g_m} + \frac{1}{g_{mb}}} \Rightarrow A_v = \frac{g_m}{g_m + g_{mb}} = \frac{1}{1 + \eta}$$



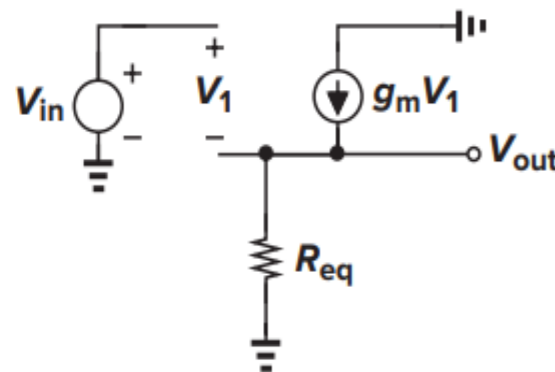
考虑体效应和沟道长度调制效应的SF



(a)



(b)



(c)

$V_{in} > V_{GS1} + V_b - V_{TH2}$

$$A_v = \frac{\frac{1}{g_{mb}} \parallel r_{O1} \parallel r_{o2} \parallel R_L}{\frac{1}{g_{mb}} \parallel r_{O1} \parallel r_{o2} \parallel R_L + \frac{1}{g_m}}$$

公式中的 g_m 和 g_{mb} 是M1参数.

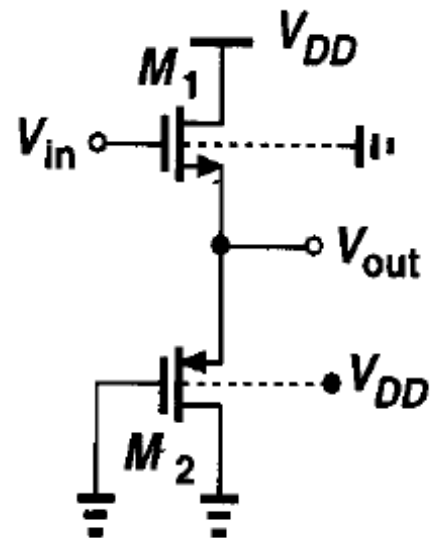


例3.14

M2为二极管，输出阻抗 = $\frac{1}{g_{m2} + g_{mb2}} \parallel r_{o2}$

$$A_v = \frac{\frac{1}{g_{mb1}} \parallel r_{o1} \parallel r_{o2} \parallel \frac{1}{g_{m2} + g_{mb2}}}{\frac{1}{g_{mb1}} \parallel r_{o1} \parallel r_{o2} \parallel \frac{1}{g_{m2} + g_{mb2}} + \frac{1}{g_{m1}}}$$

$$\approx \frac{\frac{1}{g_{mb1}} \parallel \frac{1}{g_{m2} + g_{mb2}}}{\frac{1}{g_{mb1}} \parallel \frac{1}{g_{m2} + g_{mb2}} + \frac{1}{g_{m1}}}, \text{ M2电阻小, 不好}$$



NMOS SF输出电平Vout低于输入Vin至少V_{TH}



PMOS的SF:消除体效应的非线性

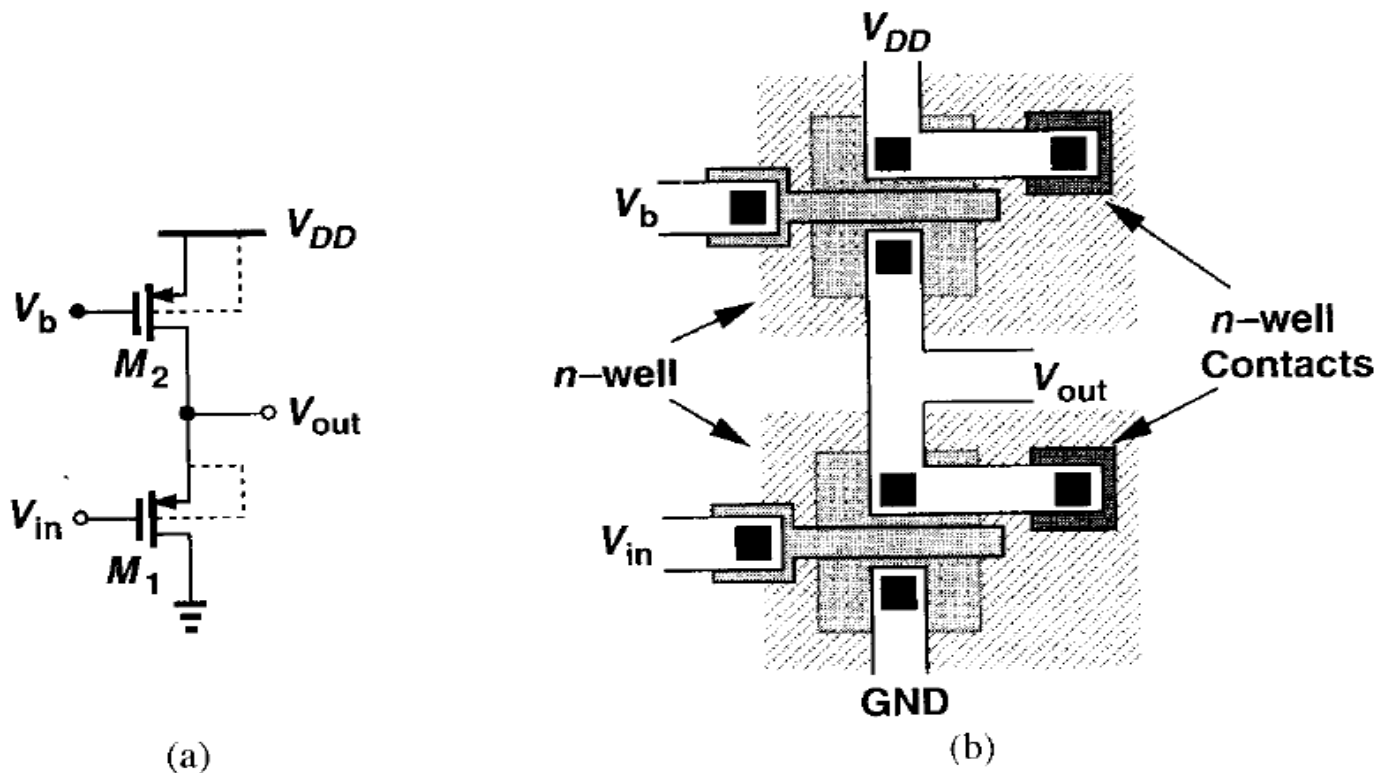
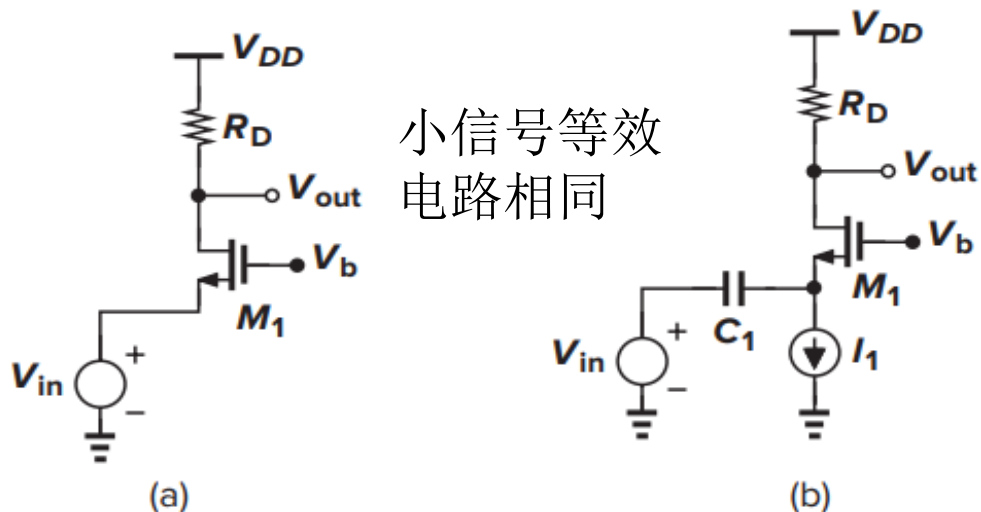


Figure 3.36 PMOS source follower with no body effect.

PMOS SF输出电平 V_{out} 高于输入 V_{in} 至少 V_{TH}



3.5 Common-gate stage



信号从源端输入，从漏极输出。小信号输入输出共栅

图(b)中，设C1足够大。
Vin不影响M1直流工作点

低频直接连输入信号源，工作点与前级有关

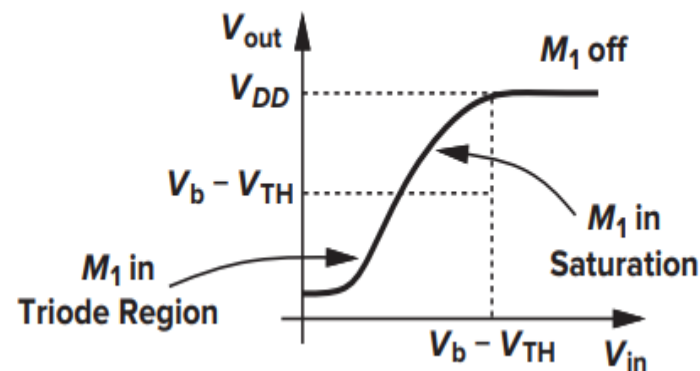
高频信号通过C1耦合，I1确定工作点

设图(a)Vin从大的正值减小：

图(a): $V_{in} > V_b - V_{TH}$ 时M1截止, $V_{out} = V_{DD}$

饱和区 $V_{in} \downarrow \Rightarrow I_D \uparrow \Rightarrow V_{out} \downarrow$ ，同向放大

当 $V_{out} = V_{DD} - \frac{1}{2} \mu_n C_{ox} \frac{W}{L} (V_b - V_{in} - V_{TH})^2 R_D$ ，降到 $V_b - V_{TH}$ 时进入线性区





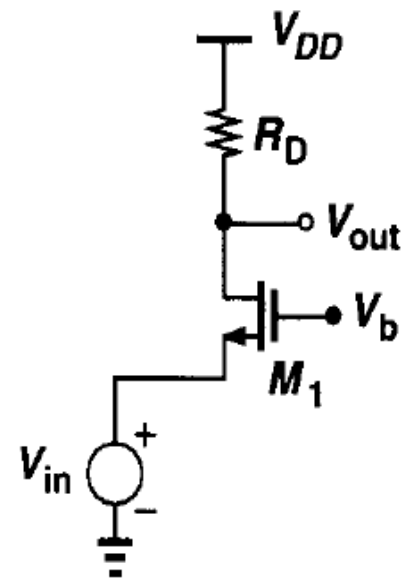
Gain of CG

$$V_{out} = V_{DD} - \frac{1}{2} \mu_n C_{ox} \frac{W}{L} (V_b - V_{in} - V_{TH})^2 R_D, \text{ 忽略 } \lambda$$

$$\frac{\partial V_{out}}{\partial V_{in}} = -\mu_n C_{ox} \frac{W}{L} (V_b - V_{in} - V_{TH}) \left(-1 - \frac{\partial V_{TH}}{\partial V_{in}}\right) R_D$$

$$\therefore \frac{\partial V_{TH}}{\partial V_{in}} = \frac{\partial V_{TH}}{\partial V_{SB}} = \eta$$

$$\therefore \frac{\partial V_{out}}{\partial V_{in}} = \mu_n C_{ox} \frac{W}{L} (V_b - V_{in} - V_{TH}) (1 + \eta) R_D = g_m (1 + \eta) R_D$$



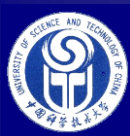
虽然体效应使共栅级的等效跨导变大，但并不会带来好的性能。

设 $\lambda \approx 0$ 即 ΔV_{DS} 对 I_D 交变无影响，

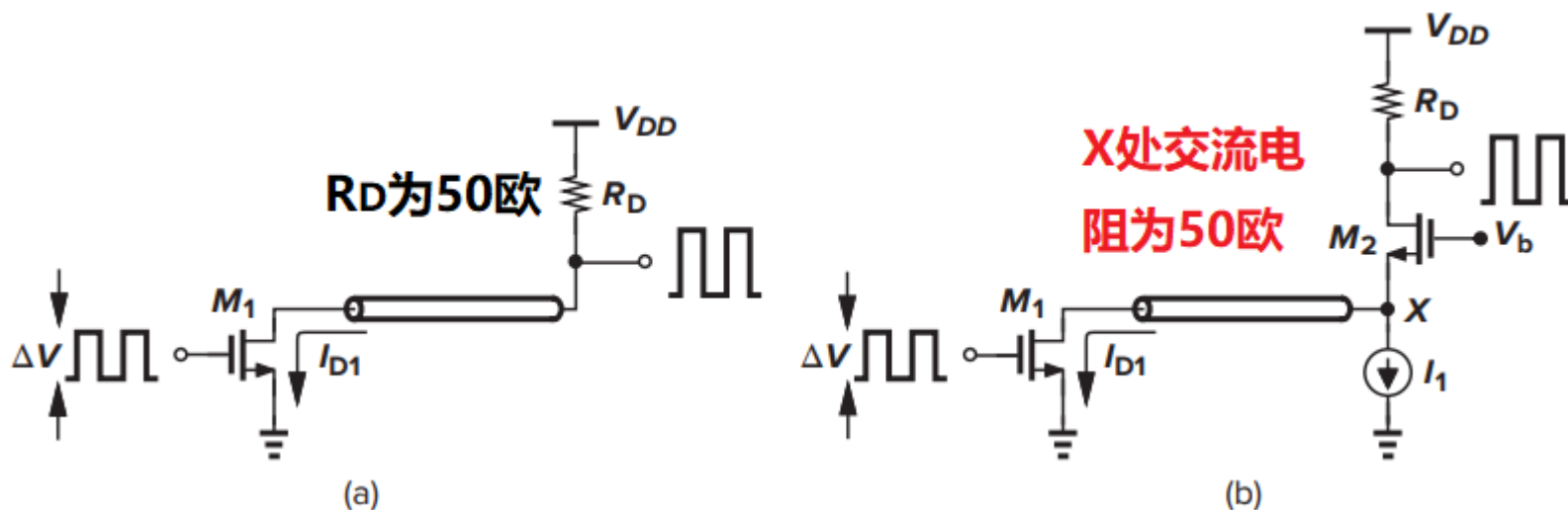
或 R_D 不太大 (I_D 不恒定) 时：

$$\text{输入阻抗} \approx \frac{1}{g_m + g_{mb}}, \text{ 即 } \frac{1}{g_m} \parallel \frac{1}{g_{mb}}$$

衬偏效应使输入阻抗降低。
共栅级电路应用在 低输入
阻抗的场合



例3.17：传输线电路CS和CG的比较

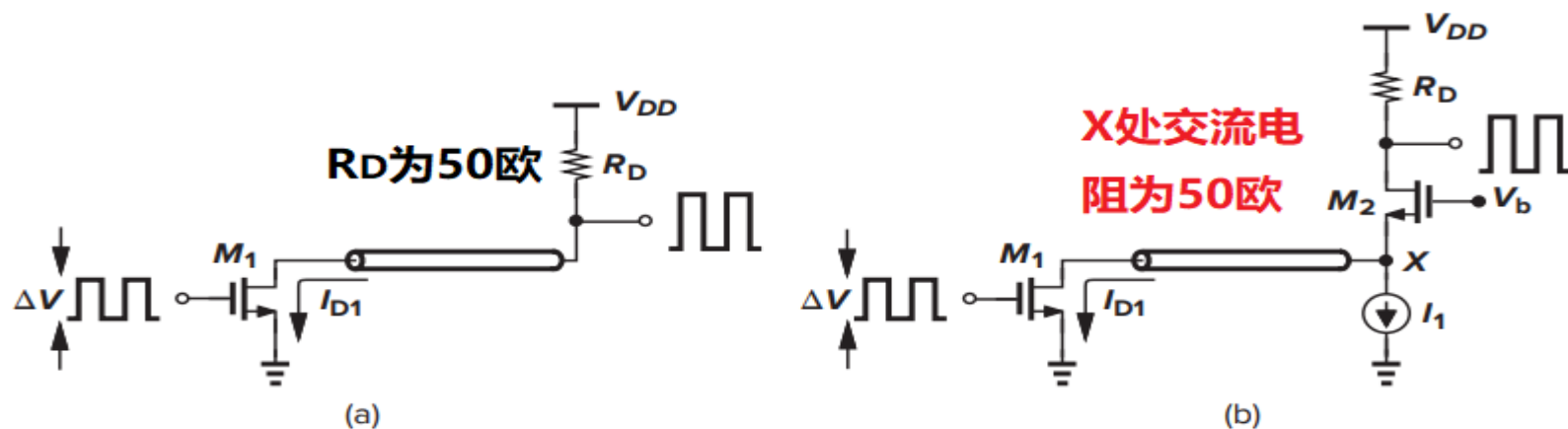


传输线特征电阻50欧， $R_D=50\Omega$ ，忽略沟道长度调制和体效应。

(a) 两种接法的增益（忽略MOS寄生电容）。

(b) X点反射最小的条件下（即 M_2 源极看到的交流电阻为50欧）， M_2 放大器如何设计？

例3.17 （续）



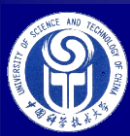
解：设两电路输入 V_{in} 变化 ΔV , $\Delta I_{D1} = g_m \Delta V$ 相同, $g_m = \sqrt{2\mu_n C_{ox} \frac{W}{L} I_D}$

$$A_v = \frac{\partial V_{out}}{\partial V_{in}} = -g_m R_D \text{ 公式形式相同}$$

注意：图(b)共栅级M2的输入信号（X处）是电流，而不是电压。

从图X点看，M2源极的小信号（交流）电阻 $\frac{\Delta V_X}{\Delta I_X} = \frac{1}{g_{m2} + g_{mb2}} = 50\Omega$

图（b）由于M2的隔离， R_D 可远大于 50欧，提供更高的增益。



考虑MOS输出阻抗和信号源内阻情况下的CG

以下V均表示交流小信号

$$V_{out} = r_o \left(\frac{-V_{out}}{R_D} - g_m V_1 - g_{mb} V_{bs} \right) - \frac{V_{out}}{R_D} R_S + V_{in}$$

$$V_{bs} = V_1$$

$$V_1 - \frac{V_{out}}{R_D} R_S + V_{in} = 0$$

$$A_v = \frac{V_{out}}{V_{in}} = \frac{r_o(g_m + g_{mb}) + 1}{r_o + (g_m + g_{mb})r_o R_S + R_S + R_D} R_D \quad (3.111)$$

若 $r_o = \infty$, $g_m + g_{mb} \approx g_m$ 则 $A_v = \frac{R_D}{\frac{1}{g_m} + R_S} \quad (3.999)$

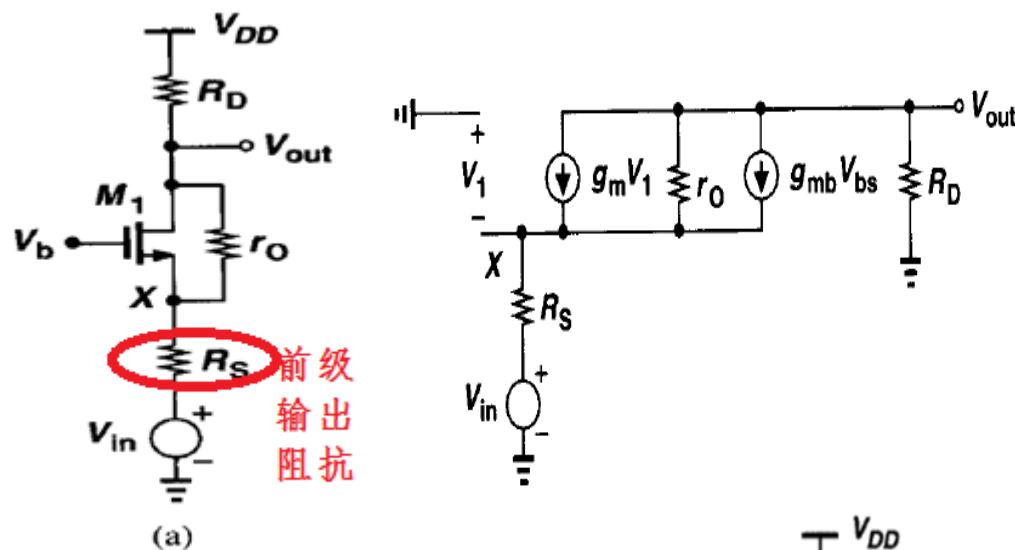
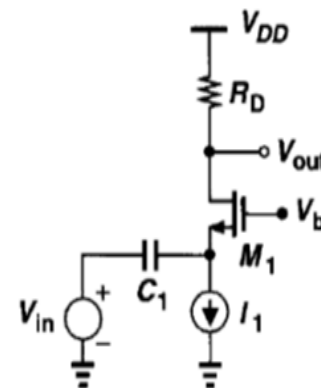


图3.51 输出电阻有限的共栅级





CG 比较CS

- CS
$$A_v = \frac{V_{out}}{V_{in}} = \frac{-r_o g_m}{r_o + (g_m + g_{mb})r_o R_S + R_S + R_D} R_D \quad (3.77)$$

- CG
$$A_v = \frac{V_{out}}{V_{in}} = \frac{r_o (g_m + g_{mb}) + 1}{r_o + (g_m + g_{mb})r_o R_S + R_S + R_D} R_D \quad (3.111)$$

CG增益略高一些，CG噪声比较大。



例3.18 求电压增益

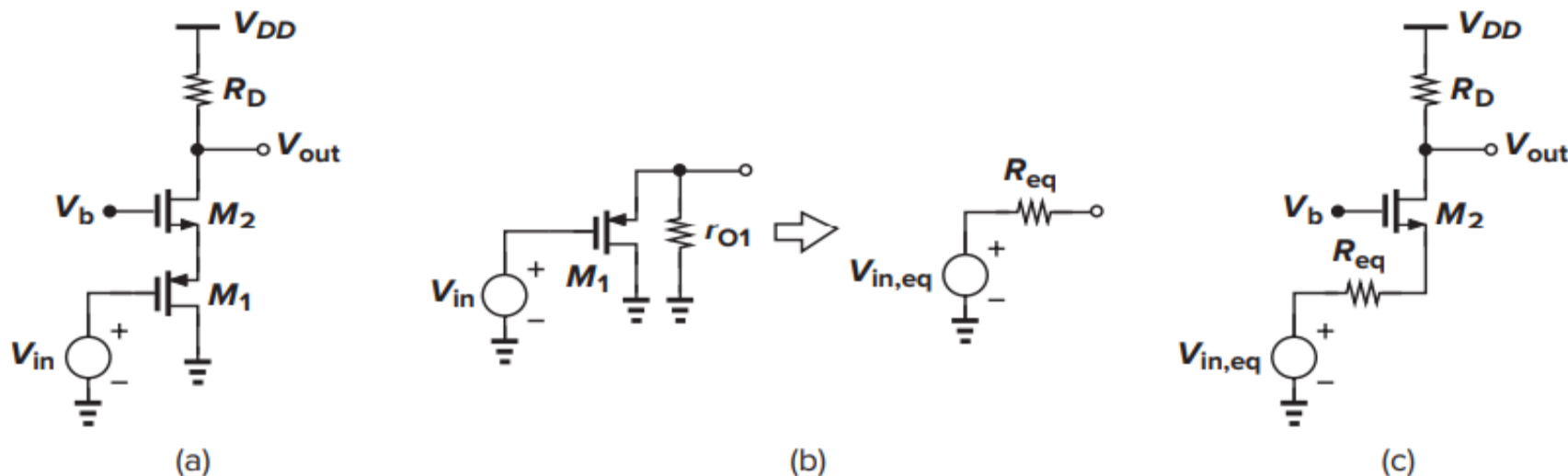


Figure 3.52

M1为PMOS源跟随器。将M1等效成戴维南电路，化为标准CG电路形式。
求戴维南电路等效电阻时， $V_{in}=0$ ，则M1成二极管

M1输出短路电流为 $g_{m1}V_{in}$ ，PMOS管 g_{mb1} 为0

$$R_{eq} = \frac{1}{g_{m1}} \parallel r_{o1}$$

$$M_1 \text{ 的开路输出电压 } V_{in,eq} = (g_{m1}V_{in}) R_{eq} = g_{m1} \frac{\frac{1}{g_{m1}} \times r_{o1}}{\frac{1}{g_{m1}} + r_{o1}} V_{in} \approx V_{in}$$



例3.18 求电压增益（续）

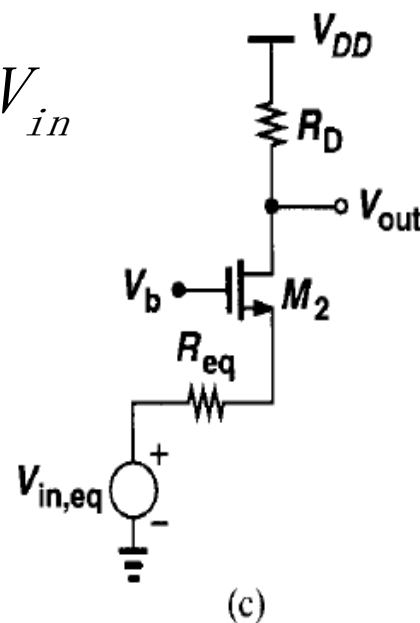
$$R_{eq} = \frac{1}{g_{m1}} \parallel r_{o1} = \text{公式中 } R_S$$

由前CG公式: $A_v = \frac{V_{out}}{V_{in}} = \frac{r_o(g_m + g_{mb}) + 1}{r_o + (g_m + g_{mb})r_o R_S + R_S + R_D} R_D$ (3.111)

得: $A_v = \frac{V_{out}}{V_{in}} = \frac{V_{out}}{V_{in,eq}} \times \frac{V_{in,eq}}{V_{in}} \quad V_{in,eq} \approx V_{in}$

$$= \frac{r_{o2}(g_{m2} + g_{mb2}) + 1}{r_{o2} + [1 + (g_{m2} + g_{mb2})r_{o2}]\left(\frac{1}{g_{m1}} \parallel r_{o1}\right) + R_D} R_D$$

设PMOS管 g_{mb1} 为0, 否则为教材式3.114





共栅级输入电阻

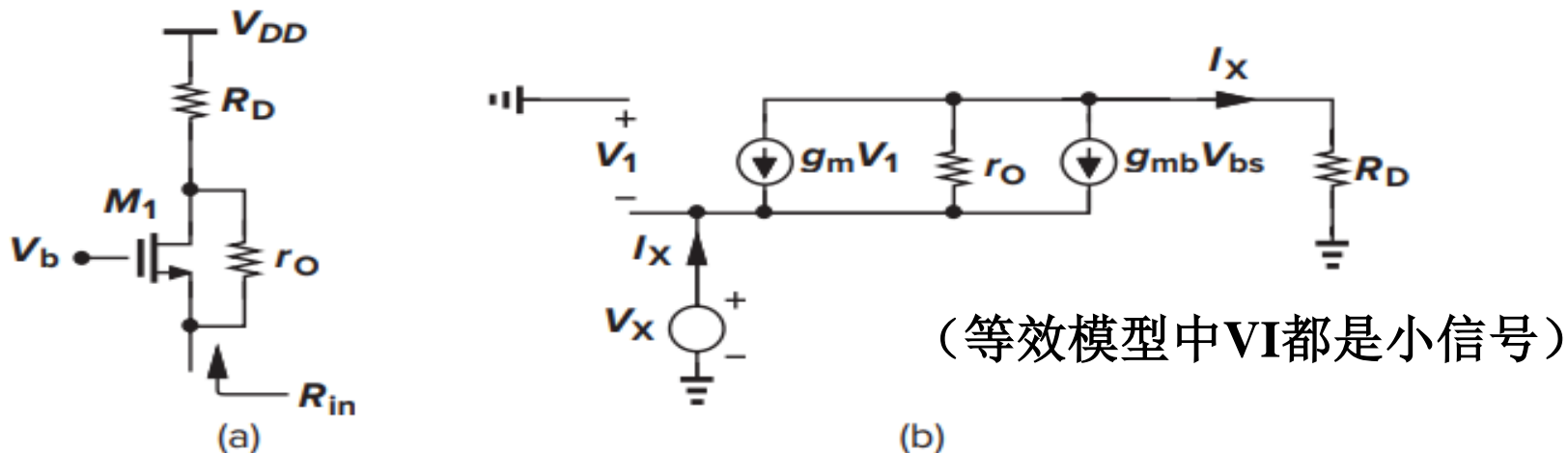


Figure 3.53 (a) Input resistance of a CG stage; (b) small-signal equivalent circuit.

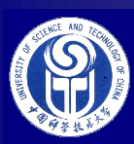
$$V_1 = V_{bs} = -V_X$$

从下往上流过 r_o 的电流: $I_X + g_m V_1 + g_{mb} V_{bs} = I_X - (g_m + g_{mb}) V_X$

$$V_X = [I_X - (g_m + g_{mb}) V_X] r_o + I_X R_D$$

共栅级输入电阻（从源极端往MOS看）

$$R_{in} = \frac{V_X}{I_X} = \frac{R_D + r_o}{1 + (g_m + g_{mb}) r_o} \quad (3.116)$$



CG极端情况: $R_D=0$ 和无穷大

$$R_{in} = \frac{V_X}{I_X} = \frac{R_D + r_o}{1 + (g_m + g_{mb})r_o} \quad (\text{比较先前假设} r_o \text{无穷大})$$

$$(1) R_D = 0 \text{ 或 } r_o \text{ 很大时 } R_{in} \approx \frac{1}{g_m + g_{mb}}$$

比较源跟随器输出阻抗 (3.91) 式相同

$$(2) \text{ 图3.54, } R_D = \infty \text{ 时 } R_{in} = \infty$$

原因: 交变小信号 $I_X = 0$

结论: 只有 R_D 不很大情况下, 共栅级输入电阻才会较小。

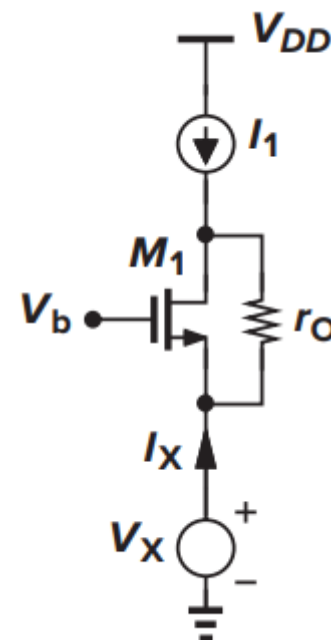
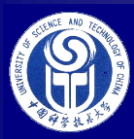


Figure 3.54 Input resistance of a CG stage with ideal current-source load.



例3.19 电流源负载CG的电压增益

直接耦合的共栅极。

由式 (3.111)

$$\begin{aligned}
 A_v &= \frac{V_{out}}{V_{in}} \\
 &= \frac{r_o(g_m + g_{mb}) + 1}{r_o + (g_m + g_{mb})r_o R_S + R_S + R_D} R_D \\
 &= r_o(g_m + g_{mb}) + 1 \approx r_o(g_m + g_{mb})
 \end{aligned}$$

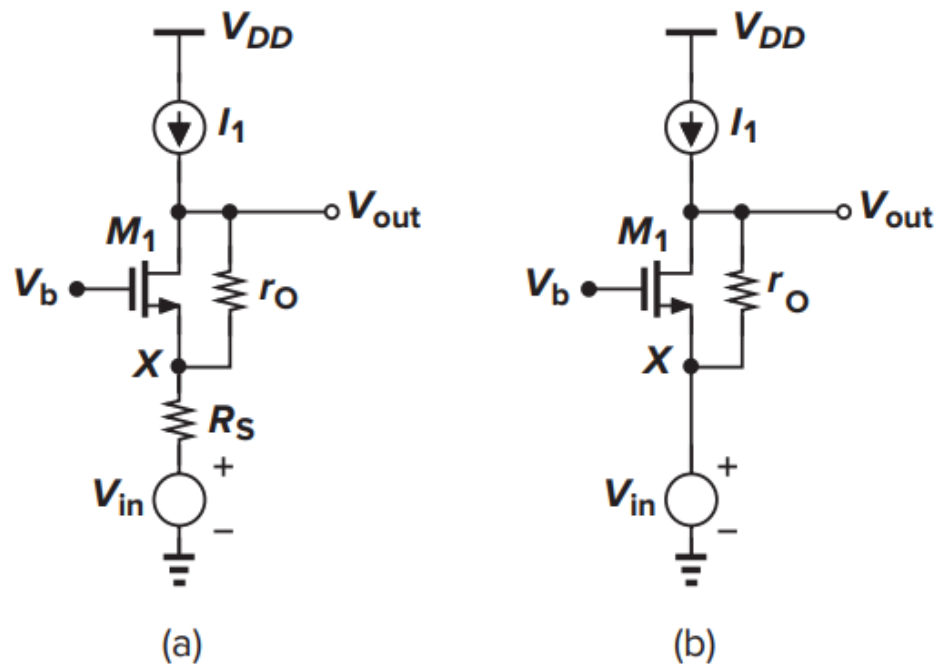


Figure 3.55

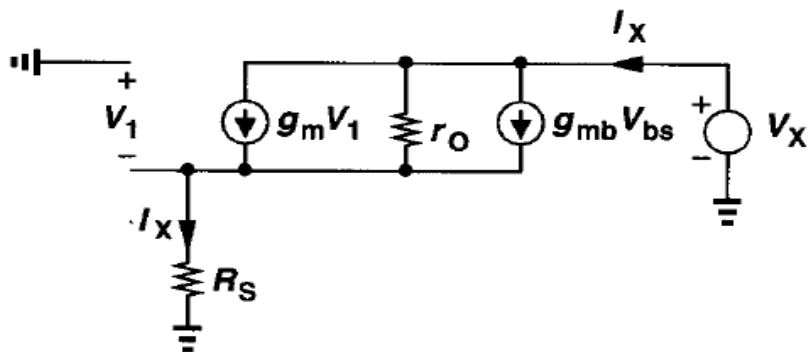
$R_D = \infty$ V_{RS} 恒定，交流信号与 R_S 无关。

the small-signal voltage at node X is equal to V_{in}



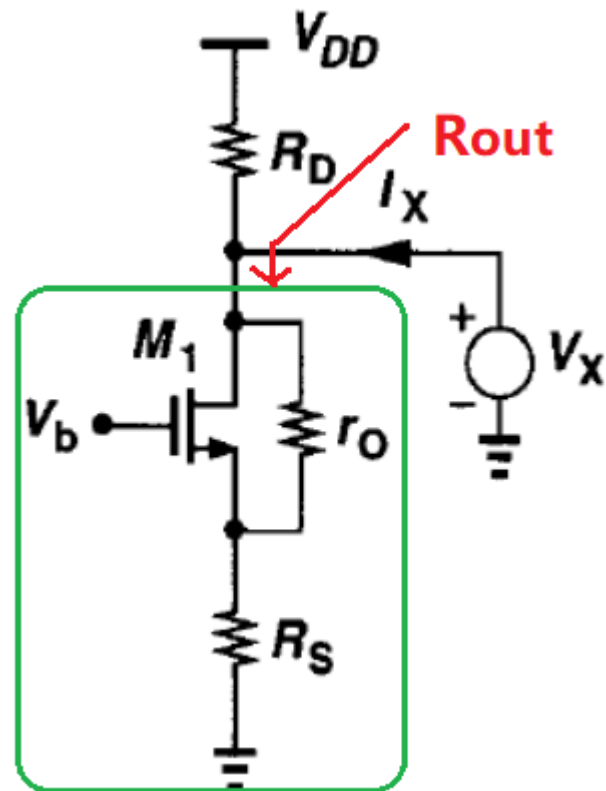
Output impedance of common-gate stage

与图3.29相同。



$$\text{式(3.66): } R_{out} = [1 + (g_m + g_{mb})r_o]R_S + r_o$$

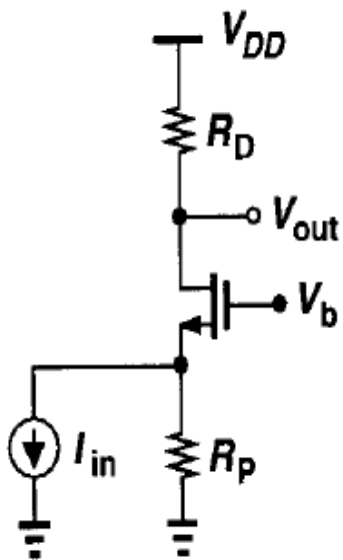
Same as Degenerated CS



$$\text{总的共栅CG: } R'_{out} = \frac{V_X}{I_X} = \{ [1 + (g_m + g_{mb})r_o]R_S + r_o \} || R_D$$

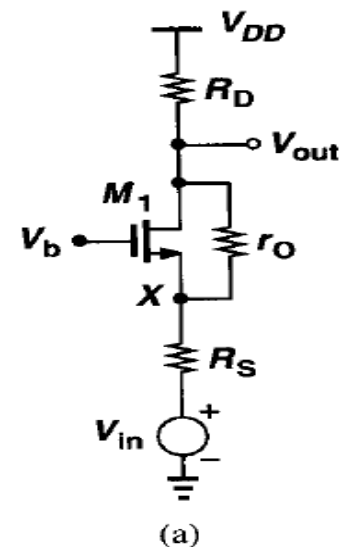


例3.20 计算 V_{out}/I_{in} 和输出阻抗



已知右图，有式 (3.111) : $A_v = \frac{V_{out}}{V_{in}}$

$$= \frac{r_o(g_m + g_{mb}) + 1}{r_o + (g_m + g_{mb})r_o R_S + R_S + R_D} R_D$$



$$\therefore \frac{V_{out}}{I_{in}} = \frac{V_{out}}{V_{in}} \frac{V_{in}}{I_{in}} = \frac{r_o(g_m + g_{mb}) + 1}{r_o + (g_m + g_{mb})r_o R_P + R_P + R_D} R_D \times R_P \quad (3.122)$$

总 $R_{out} = \{[1 + (g_m + g_{mb})r_o]R_P + r_o\} || R_D$, 令 $I_{in} = 0$



3.6 Cascode Stage(共源共栅)

输入器件M1将 V_{in} 转换成漏电流。M2什么作用？

M2增大了从 V_{out} 向下看的输出阻抗！

设计偏置 V_b ，保证M1输入管和M2（cascode器件）工作在饱和区：

$$V_X = V_b - V_{GS2} \text{ , 且 } V_X \geq V_{in} - V_{TH1}$$

$$\text{即 } V_b - V_{GS2} \geq V_{in} - V_{TH1}$$

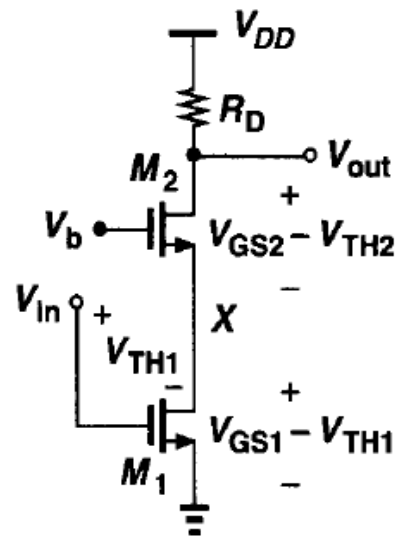
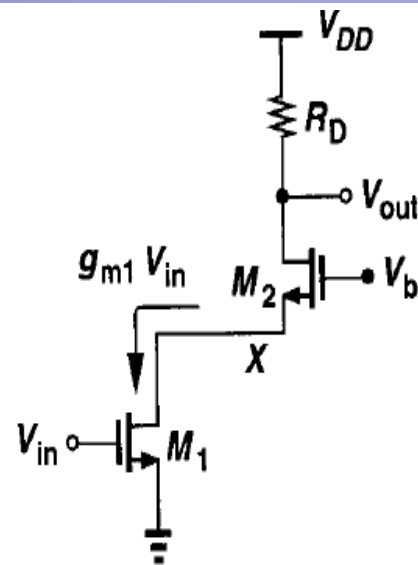
$$\therefore V_b \geq V_{in} - V_{TH1} + V_{GS2}$$

$$\therefore V_{out} \geq V_b - V_{TH2} \geq V_{in} - V_{TH1} + V_{GS2} - V_{TH2}$$

$$\text{即 } V_{out} \geq M1\text{过驱动电压} + M2\text{过驱动电压}$$

直筒式CASCODE.

输入器件和Cascode器件是同一类型MOS





3.6.1 直筒式Cascode

(1) $V_{in} \leq V_{TH1}$, M_1 和 M_2 截止, $V_{out} = V_{DD}$

$$I_D = 0, \quad V_{GS2} - V_{TH} = 0$$

$$\therefore V_X = V_b - V_{TH2}$$

(2) $V_{in} \geq V_{TH1}$, 当 $V_{in} \uparrow \Rightarrow I_D \uparrow \Rightarrow V_{out} \downarrow$ & $V_{GS2} \uparrow \Rightarrow V_X \downarrow$

M_1 和 M_2 在饱和区时: $A_v = -g_m R_D$, 与CS相同

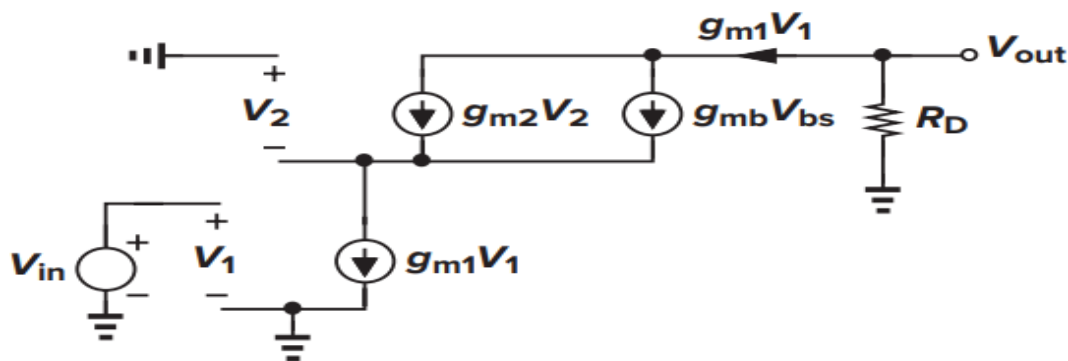
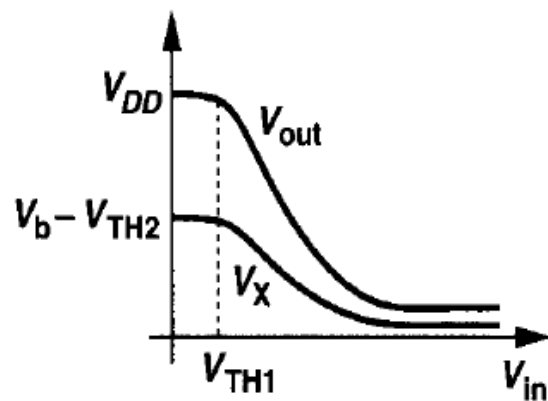
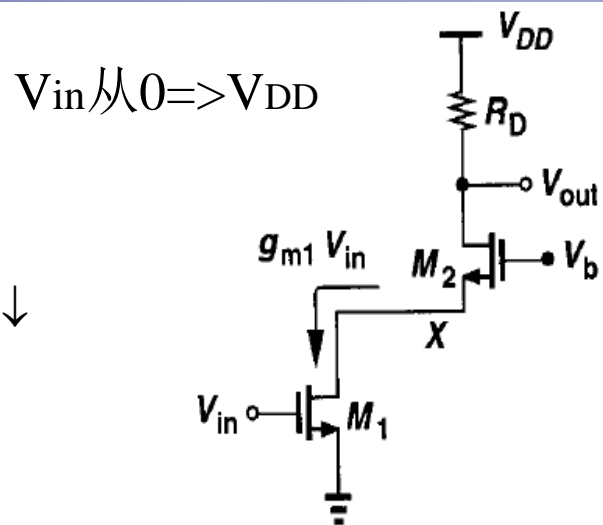


Figure 3.63 Small-signal equivalent circuit of cascode stage.



(3) V_{in} 增加到很大时, M_1 或 M_2 进入线性区。

若 V_b 比较小时, M_1 先进入线性区。

若 M_2 进入线性区, 则 $V_{out} \approx V_X$



例3.21 calculate the voltage gain

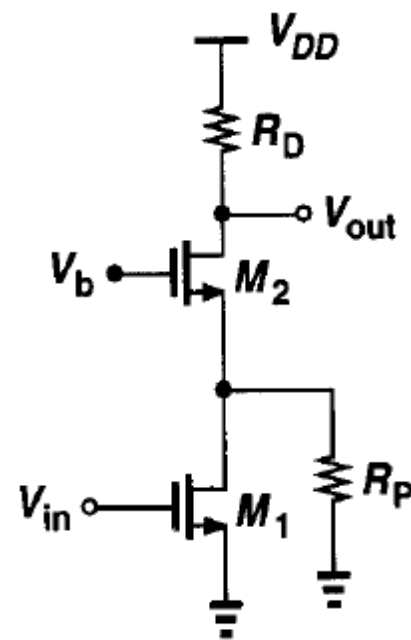
M₁的小信号漏电流（受控电流源） $g_{m1}V_{in}$ ，被 R_p （例如 r_{o1} ，或节点寄生电容）和向M₂源极看进去的阻抗 $1/(g_{m2}+g_{mb2})$ 分流。

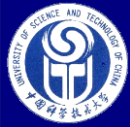
$$\text{小信号 } I_{D2} = g_{m1}V_{in} \frac{R_p}{\frac{1}{g_{m2} + g_{mb2}} + R_p} = g_{m1}V_{in} \frac{(g_{m2} + g_{mb2})R_p}{1 + (g_{m2} + g_{mb2})R_p}$$

$$A_v = \frac{-I_{D2}(R_D || R_{out})}{V_{in}} \approx \frac{-I_{D2}R_D}{V_{in}}$$

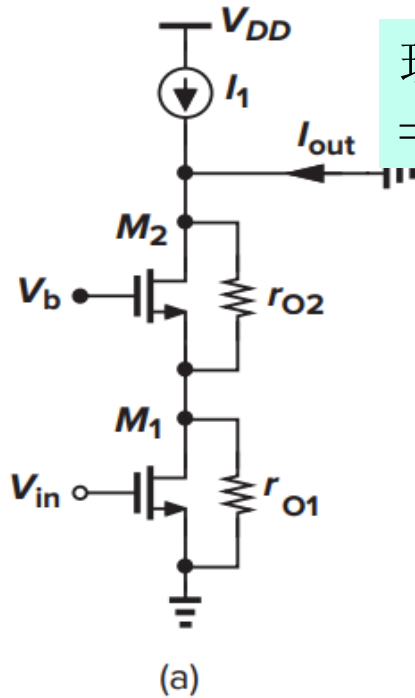
$$= -g_{m1} \frac{(g_{m2} + g_{mb2})R_p R_D}{1 + (g_{m2} + g_{mb2})R_p},$$

V_{out} 向下看的输出阻抗 R_{out} 很大

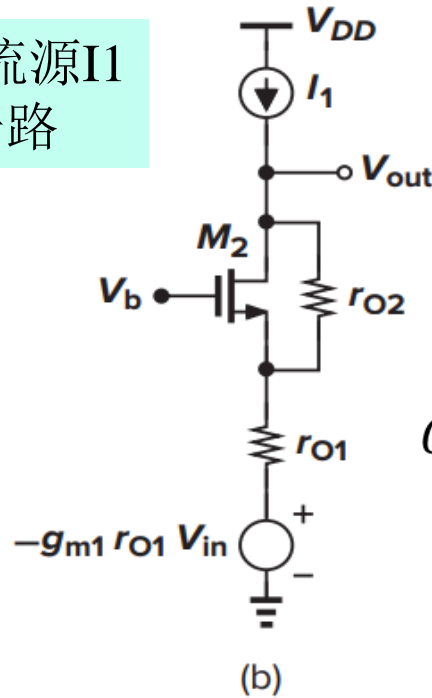




例3.22 理想电流源负载Cascode电压增益



理想电流源I1
=负载开路



回顾辅助定理：

开路电压增益 $= -G_m R_{out}$ ，其中
 G_m 表示输出与地短接时的电路
跨导 $= I_{out}/V_{in}$ ， R_{out} 为输出电阻

$$G_m = \frac{I_{out}}{V_{in}} = \frac{g_{m1} r_{o1}}{r_{o1} + \frac{1}{g_{m2} + g_{mb2}} \parallel r_{o2}}$$

$$= \frac{g_{m1} r_{o1}}{r_{o1} + \frac{r_{o2}}{1 + (g_{m2} + g_{mb2}) r_{o2}}}$$

$$= \frac{g_{m1} r_{o1} [1 + (g_{m2} + g_{mb2}) r_{o2}]}{(g_{m2} + g_{mb2}) r_{o2} r_{o1} + r_{o1} + r_{o2}}$$

$$G_m \approx g_{m1}$$

Figure 3.68

$$I_{out} = g_{m1} V_{in} \frac{r_{o1}}{r_{o1} + \frac{1}{g_{m2} + g_{mb2}} \parallel r_{o2}}$$

$$A_v = -G_m R_{out} \approx -g_m * r_{o1} [1 + (g_{m2} + g_{mb2}) r_{o2}] \approx -g_m (g_{m2} + g_{mb2}) r_{o1} r_{o2}$$



cascode结构的重要特性：输出阻抗大

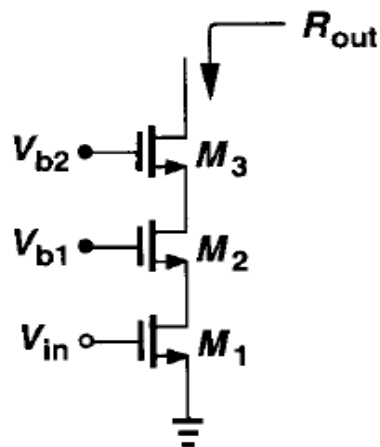
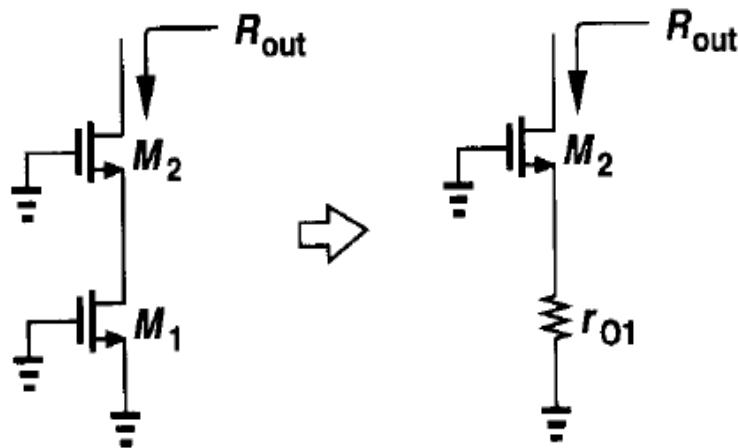
由式 (3.66)：

$$R_{out} = [1 + (g_{m2} + g_{mb2})r_{o2}]r_{o1} + r_{o2} \\ \approx (g_{m2} + g_{mb2})r_{o2}r_{o1}$$

将共源 M_1 输出电阻 r_{o1} 提高到约

$$(g_{m2} + g_{mb2})r_{o2} \times r_{o1},$$

前提： $M1$ 和 $M2$ 均在饱和区



将共源 M_1 输出电阻 r_{o1} 提高到约

$$(g_{m3} + g_{mb3})r_{o3} \times (g_{m2} + g_{mb2})r_{o2} \times r_{o1}$$

现代工艺电源电压较低，每个MOS管需要 V_{DS} ，

故此结构难以应用



放大电路要上下阻抗对称

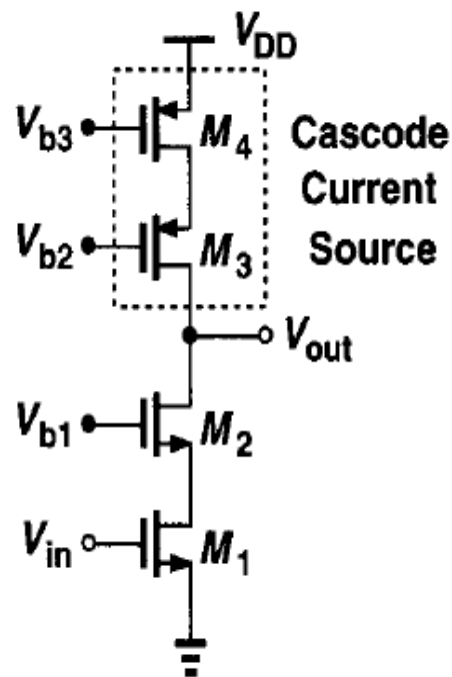
$$R_{out} = \{[1 + (g_{m2} + g_{mb2})r_{o2}]r_{o1} + r_{o2}\} \parallel \{[1 + (g_{m3} + g_{mb3})r_{o3}]r_{o4} + r_{o3}\}$$
$$\approx (g_{m2} + g_{mb2})r_{o2}r_{o1} \parallel (g_{m3} + g_{mb3})r_{o3}r_{o4} \approx g_{m2}r_{o2}r_{o1} \parallel g_{m3}r_{o3}r_{o4}$$

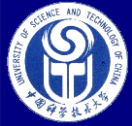
$$A_v \approx -g_{m1}R_{out} = -g_{m1}[g_{m2}r_{o2}r_{o1} \parallel g_{m3}r_{o3}r_{o4}]$$

直流输出电平需另外电路确定

直流输入电压动态范围小

$$V_{in} < V_{b1} - V_{GS2} + V_{TH1}$$
$$= V_{b1} - (V_{OD2} + V_{TH2}) + V_{TH1} \approx V_{b1} - V_{OD2}$$





Shielding property

设 M_1M_2 相同, M_3M_4 相同, 都是饱和区。

图 (a) : $V_X - V_Y = \Delta V$

$$I_{D1} - I_{D2} = \frac{1}{2} \mu_n C_{ox} \frac{W}{L} (V_b - V_{TH})^2 (\lambda V_{DS1} - \lambda V_{DS2})$$

$$= \frac{1}{2} \mu_n C_{ox} \frac{W}{L} (V_b - V_{TH})^2 \lambda \Delta V_{XY}$$

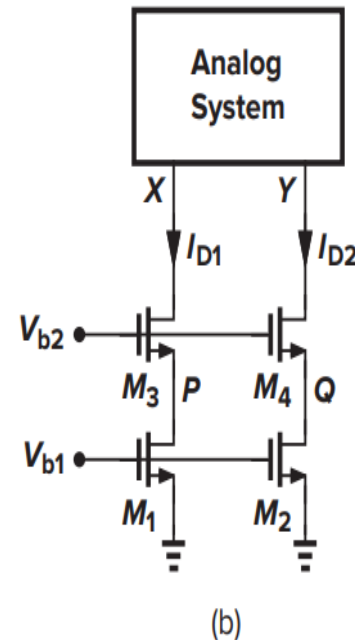
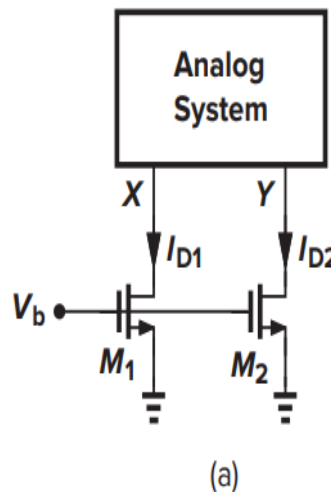


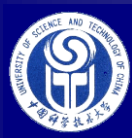
图 (b) : $\Delta V_{PQ} = \Delta V_{XY} \frac{r_{o1}}{R_{Xout}} = \Delta V_{XY} \frac{r_{o1}}{[1 + (g_{m3} + g_{mb3})r_{o3}]r_{o1} + r_{o3}}$

$\approx \Delta V_{XY} \frac{1}{(g_{m3} + g_{mb3})r_{o3}}$, PQ变化小, 即 M_3 屏蔽了X点对P点的影响。

$$I_{D1} - I_{D2} = \frac{1}{2} \mu_n C_{ox} \frac{W}{L} (V_b - V_{TH})^2 \lambda \Delta V_{PQ}$$

$$= \frac{1}{2} \mu_n C_{ox} \frac{W}{L} (V_b - V_{TH})^2 \lambda \Delta V_{XY} \frac{1}{(g_{m3} + g_{mb3})r_{o3}}$$

CASCODE结
构使电流失
配大大减少



3.6.2 折叠式共源共栅 Folded cascode

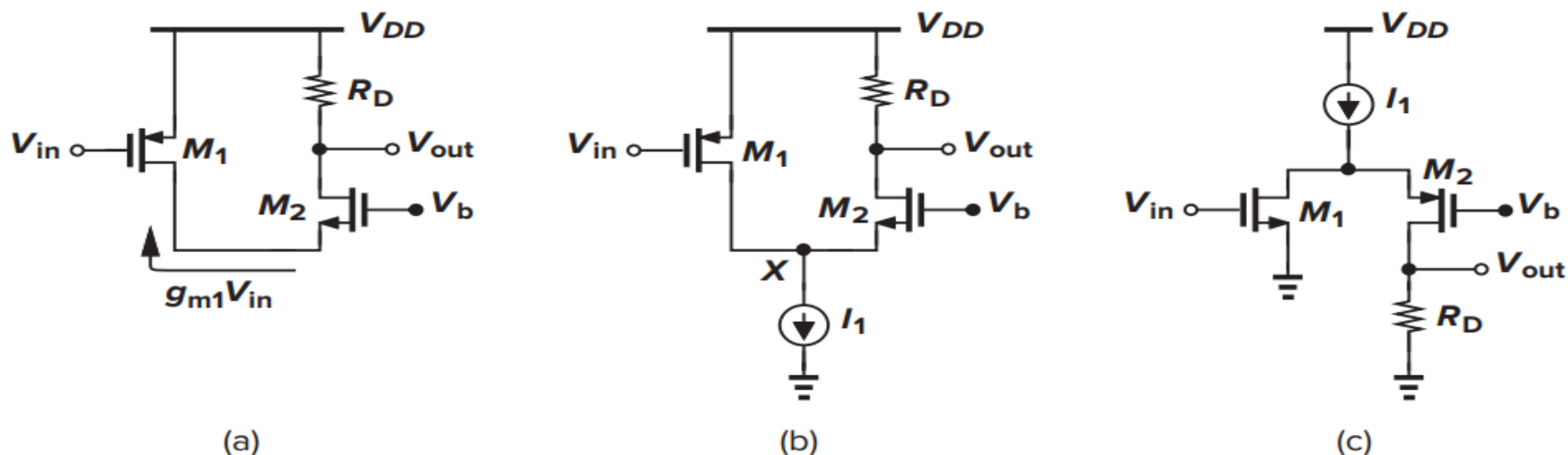


Figure 3.74 (a) Simple folded cascode; (b) folded cascode with proper biasing; (c) folded cascode with NMOS input.

图3.74 (a) PMOS和NMOS组成折叠CASCODE（小信号电流回路）

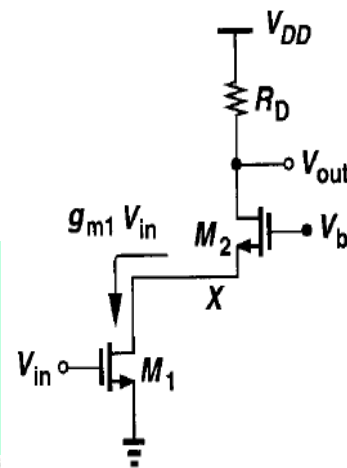
(b)有直流通路的 PMOS作输入器件的折叠式共源共栅电路

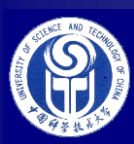
(c)有直流通路的NMOS作输入器件的折叠式共源共栅电路

折叠式输入器件和cascode器件不是同一类型。

由于 I_1 电流源，若 I_{D1} 增大则 I_{D2} 减小。

折叠式输入电压范围比直筒式cascode大。





Folded cascade 大信号分析

(1) $V_{in} > V_{DD} - |V_{TH1}|$, M_1 截止。电流源 I_1 全部流过 R_D , V_{out} 最低。 $V_{out} = V_{DD} - I_1 R_D$

$I_1 R_D$ 不能过大, 否则 M_2 易进入线性区

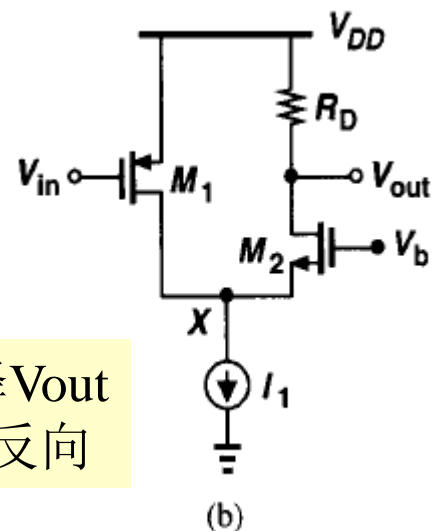
(2) $V_{in} < V_{DD} - |V_{TH1}|$ 时, M_1 工作在饱和区。

$$I_{D2} = I_1 - \frac{1}{2} \mu_p C_{ox} \left(\frac{W}{L} \right)_1 (V_{DD} - V_{in} - |V_{TH1}|)^2$$

V_{in} 下降 V_{out} 升高, 反向

$$V_{out} = V_{DD} - I_{D2} R_D$$

$$= V_{DD} - I_1 R_D + \frac{1}{2} \mu_p C_{ox} \left(\frac{W}{L} \right)_1 (V_{DD} - V_{in} - |V_{TH1}|)^2 R_D$$

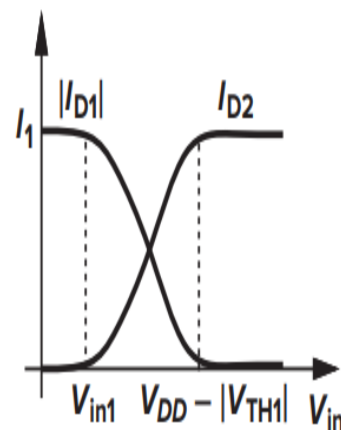
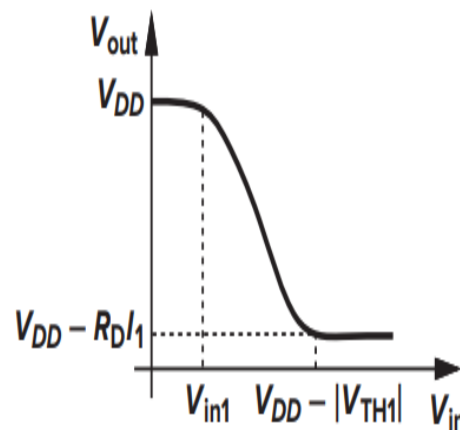


$$I_{D1} + I_{D2} = I_1$$

(3) 当 V_{in} 下降使 $I_{D2} = 0$ 时, $V_{out} = V_{DD}$

$$I_1 - \frac{1}{2} \mu_p C_{ox} \left(\frac{W}{L} \right)_1 (V_{DD} - V_{in1} - |V_{TH1}|)^2 = 0$$

$$\text{最小输入 } V_{in1} = V_{DD} - \sqrt{\frac{2I_1}{\mu_p C_{ox} \left(\frac{W}{L} \right)_1}} - |V_{TH1}|$$





折叠管的输出阻抗

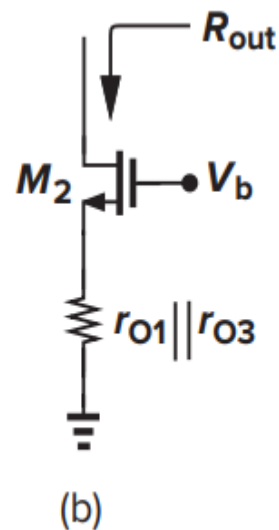
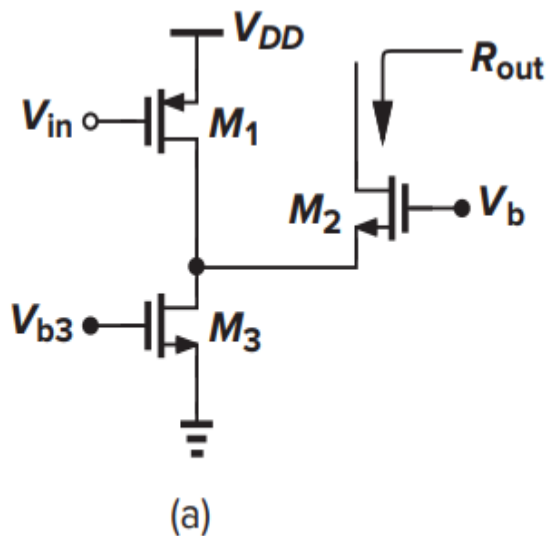
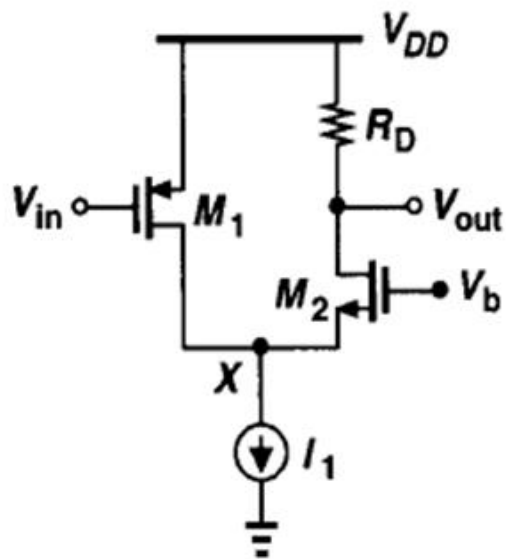


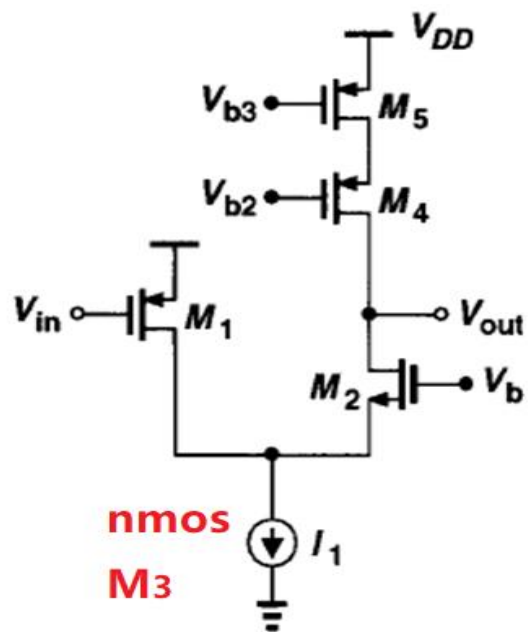
Figure 3.76

$$R_{out} = [1 + (g_{m2} + g_{mb2})r_{o2}](r_{o1} || r_{o3}) + r_{o2} \\ \approx (g_{m2} + g_{mb2})r_{o2}(r_{o1} || r_{o3})$$

手工计算简化规则：求和计算可忽略相差一个数量级以上的参数



The load of a folded cascode



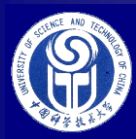
记 $M3$ 组成尾电流源 I_1

$$R_{out} = \{ [1 + (g_{m2} + g_{mb2})r_{o2}](r_{o1} || r_{o3}) + r_{o2} \} || \{ [1 + g_{m4}r_{o4}]r_{o5} + r_{o4} \}$$

$$\approx (g_{m2} + g_{mb2})r_{o2}(r_{o1} || r_{o3}) || g_{m4}r_{o4}r_{o5}$$

$$A_v = -g_{m1}R_{out}$$

$$= -g_{m1} \left[(g_{m2} + g_{mb2})r_{o2}(r_{o1} || r_{o3}) || g_{m4}r_{o4}r_{o5} \right]$$



本章知识要点

- Four types of amplifiers (MOSFET的小信号输入输出公共端)
- 共源CS、源跟随器SF、CASCODE的低频增益和输出电阻
- 共栅CG的低频增益、输入与输出电阻
- MOS二极管的等效电阻
- CS各种负载情况的优缺点
- 掌握电路分析方法：
 - * Large-signal characteristics : 计算输入输出范围
 - * Small-signal characteristics (Low frequency behavior) : 列出节点电路方程, 计算低频增益
 - * 忽略小分量的手工近似计算方法